

## مقایسه روش های مختلف (میکروبی، آنزیمی و مولکولی) تشخیص آلودگی مایکوپلاسمایی در رده های سلولی انسانی و حیوانی ذخیره شده در بانک سلولی انستیتو پاستور ایران

وحید ملا کاظمی<sup>۱\*</sup>، رضا مهدیان<sup>۲</sup>، آرش معمارنژادیان<sup>۳</sup>، محمد علی شکر گزار<sup>۴</sup>، حمید رضامهاجرانی<sup>۵</sup>، امیر امان زاده<sup>۶</sup>، شهرام آذری<sup>۷</sup>

<sup>۱</sup> دانشجوی کارشناسی ارشد، گروه میکروبیولوژی-دانشکده علوم-دانشگاه آزاد اسلامی واحد علوم و تحقیقات اراک، اراک، ایران  
<sup>۲</sup> استاد یار گروه پزشکی مولکولی، بخش بیوتکنولوژی، انستیتو پاستور ایران، تهران، ایران  
<sup>۳</sup> استادیار گروه ویروس شناسی، بخش هیاتیت و ایدز، انستیتو پاستور ایران، تهران، ایران  
<sup>۴</sup> دانشیار و رئیس بخش بانک سلولی، انستیتو پاستور ایران، تهران، ایران  
<sup>۵</sup> استادیار و مدیر گروه کارشناسی ارشد میکروبیولوژی دانشگاه آزاد اسلامی واحد علوم و تحقیقات اراک، اراک، ایران  
<sup>۶</sup> دانشجوی دکتری PhD بخش بانک سلولی، انستیتو پاستور ایران، تهران، ایران  
<sup>۷</sup> دانشجوی دکتری PhD بخش بانک سلولی، انستیتو پاستور ایران، تهران، ایران

### چکیده

**سابقه و هدف:** آلودگی مایکوپلازما در کشت سلول از مشکلات جدی در تولید فرآورده های بیولوژیک محسوب می شود. هدف ما در این پژوهش انتخاب بهترین روش استاندارد به عنوان روشی سریع با حساسیت، اختصاصیت و دقت بالا برای تشخیص آلودگی مایکوپلازما در کشت های سلولی بانک سلولی ایران می باشد.

**مواد و روش ها:** در این پژوهش ۴۰ رده ی سلولی مشکوک به آلودگی مایکوپلازما توسط سه روش کشت میکروبی، آنزیمی و مولکولی مورد مطالعه واقع گردیدند. ارزیابی آنزیمی به کمک کیت mycoalert انجام شد و در روش مولکولی از پرایمر یونیورسال طراحی شده بر مبنای سکانس های ثابت و مشترک موجود در 16SrRNA ریبوزومی استفاده گردید.

**یافته ها:** درصد آلودگی مایکوپلاسمایی در کشت های سلولی با روش های مولکولی، آنزیمی و میکروبی به ترتیب با ۵۷/۵٪ و ۵۲/۵٪ و ۴۰٪ استحصال گردید. نتایج حکایت از تایید حساسیت، ویژگی و صحت (دقت) بالای ارزیابی مولکولی واکنش های زنجیره ای پلیمرز (PCR) در مقایسه با دو روش آنزیمی و کشت میکروبی دارد.

**نتیجه گیری:** سنجش PCR بر مبنای سکانس های ثابت و مشترک موجود در 16SrRNA ریبوزومی، تکنیکی ارزشمند، مفید و قابل اعتماد با حساسیت، اختصاصیت و دقت بالا جهت شناسایی آلودگی های مایکوپلاسمایی در کشت های سلولی و سایر فرآورده های بیولوژیک می باشد. تکنیک آنزیمی mycoalert با توجه به حساسیت، ویژگی و سرعت بالای آن در تشخیص آلودگی مایکوپلاسمایی (کمتر از ۲۰ دقیقه) بعد از PCR، می تواند جایگزین روش های کشت میکروبی و رنگ آمیزی DNA فلوئوروکروم گردد.

**کلمات کلیدی:** کشت سلولی، آلودگی مایکوپلاسمایی، رده های سلولی انسانی - حیوانی

### مقدمه

برای اولین بار در سال ۱۹۵۶ میلادی، آقای رابینسون و همکارانش (۴۰) مشاهده کردند که کشت های سلولی ایشان به مایکوپلازما آلوده گردیده است و در دهه ۱۹۶۰ میلادی،

ادرس نویسنده مسئول: گروه میکروبیولوژی-دانشکده علوم پایه-دانشگاه آزاد اسلامی واحد علوم و تحقیقات اراک، اراک، ایران  
Email: vmkazemi@yahoo.com

تاریخ دریافت مقاله: ۹۱/۰۳/۰۸  
تاریخ پذیرش: ۹۱/۰۶/۲۹

مایکوپلازما به عنوان یکی از مهم ترین و شایع ترین آلوده کنندگان اصلی کشت های سلولی محسوب و معرفی گردید (۲، ۲۹، ۳۸، ۴۲، ۶۲، ۶۴). مایکوپلازما به عنوان کوچکترین میکروارگانیسم های زنده با اندازه های در حدود ۳۰۰ تا ۸۰۰ نانومتر است. این میکروارگانیسم های پلی مورف دیواره سلولی ندارند و دارای تکثیر خودبخودی و با زمان تکثیر سلولی ۹-۱ ساعت و سایز ژنوتیک ۶۰۰ تا ۲۲۰۰ کیلوباز می باشند و ضمناً

مایکوپلازماها جزء کلاس مولیکوت‌ها و رده‌ی تریکوت‌ها طبقه‌بندی می‌شوند، که از طریق کاهش ژنومیک و تکامل برگشت پذیر به احتمال یقین از لاکتوباسیلوس‌ها، کلوستریدیوم‌ها و استرپتوکوک‌ها مشتق شده‌اند. خانواده مولیکوت‌ها دارای بیش از ۲۰۰ گونه می‌باشند که در ۸ جنس طبقه‌بندی گردیده‌اند و برخی از آن‌ها ساپروفیت و دارای زندگی کومانسالی می‌باشند که در انسان، گیاه، حیوان، حشرات و محیط زیست و غیره وجود دارند. از مایکوپلازماهای پاتوژن مهم مجاری تنفسی و مجاری تناسلی انسانی می‌توان به مایکوپلازما پنومونیه، مایکوپلازما ژنیالیوم، مایکوپلازما هومینیس و اوره‌آ پلازما اوره‌آ آلیتیکوم اشاره کرد (۳، ۱۶، ۳۷، ۶۰، ۶۱). حضور مایکوپلازما می‌تواند رشد سلول‌ها، مورفولوژی، ویژگی‌ها و خصوصیات بیوشیمیایی، ایمنولوژیکی، ژنتیکی، متابولیسم و فیزیولوژی سلول‌ها را تحت تأثیر قرار بدهد. بنابراین تفسیر نتایج آزمایشات بیولوژیک که به طبع آن کیفیت محصولات و فرآورده‌های بیودارویی به خطر می‌افتد، که در نتیجه باعث از دست رفتن وقت، زمان، مواد و محصولات تولیدی دارویی و بیولوژیک خواهد شد. به همین خاطر فارماکوپه اروپا و انجمن دارویی فدرال آمریکا (FDA) اکیداً آزمایشات تشخیصی مایکوپلازما را به منظور افزایش کیفیت، سلامتی و ایمنی محصولات بیولوژیک و بیودارویی توصیه کرده است (۶، ۱۰، ۱۲، ۱۳، ۱۴، ۵۵، ۵۶). بررسی‌ها نشان می‌دهد که ۵ تا ۸۷٪ درصد از رده‌های سلولی به مایکوپلازماها آلوده هستند که از میان بیش از ۲۰۰ گونه مایکوپلازماها، ۲۰ گونه از آن‌ها (مولیکوت‌ها) که از کشت‌های سلولی آلوده جدا گردیده‌اند، که از این میان، دست‌کم هشت گونه از مایکوپلازماها شامل: مایکوپلازما آرژینینی، مایکوپلازما فرمنتس، مایکوپلازما اورال، مایکوپلازما هیورینیس، مایکوپلازما هومینیس، مایکوپلازما سالیواریوم، مایکوپلازما پیروم و اکوله پلازما لایدلاوی مستول بیش از ۹۵٪ موارد آلودگی رده‌های سلولی را تشکیل می‌دهند (۱۷، ۲۷، ۴۸، ۵۱). منابع اصلی آلودگی مایکوپلازمایی در کشت‌های سلولی عبارتند از: پرسنل آزمایشگاهی، سرم و محیط‌های کشت سلولی آلوده، مواد مصرفی، معرف‌ها، تجهیزات آزمایشگاهی و سلول‌هایی که قبلاً با مایکوپلازما آلوده شده‌اند. در ضمن مولیکوت‌ها می‌توانند در کشت‌های سلولی حضور داشته باشند، بدون اینکه تغییراتی

قابل مشاهده‌ای از بابت کدورت یا تغییر در رنگ و pH محیط کشت سلولی داشته باشند. آن‌ها به خاطر اینکه فاقد دیواره سلولی هستند به آنتی‌بیوتیک‌های پنی‌سیلین و استرپتومایسین، دو آنتی‌بیوتیک خیلی مهم که معمولاً در محیط‌های کشت روتین سلولی استفاده می‌شود، مقاوم هستند و مایکوپلازماها می‌توانند خیلی به آسانی کشت‌های سلولی را آلوده نمایند و توسط میکروسکوپ‌های معمولی نیز قابل مشاهده و تشخیص نمی‌باشند، قابلیت انعطاف‌پذیری، کوچک بودن و پلی‌مورف بودن آن‌ها به مایکوپلازماها اجازه می‌دهند که به راحتی از فیلترهای ضدباکتریایی با قطر ۰/۴۵ تا ۰/۲۲ میکرومتر عبور نمایند (۸، ۱۱، ۱۹، ۳۱، ۴۸، ۵۰، ۵۴). برای سال‌های متمادی است که تکنیک‌ها و روش‌های متعددی برای شناسایی و تشخیص مایکوپلازما در کشت‌های سلولی توسعه پیدا کرده‌اند که این روش‌ها شامل:

۱- آزمایش مستقیم که شامل کشت میکروبی ۲- آزمایش‌های غیرمستقیم که شامل روش‌های غیرکشت که این روش‌ها از جهت سرعت عمل، قابلیت اعتماد و اطمینان بخشی، حساسیت، اختصاصیت، صحت و اقتصادی بودن روش مورد آزمون، تفاوت‌ها و اختلافاتی با هم دارند (۱۵، ۲۱، ۲۳، ۳۵، ۳۹، ۴۱، ۴۵، ۵۸).

روش‌های بر پایه کشت نسبتاً وقت‌گیر (چند روز تا چندین هفته) با حساسیت نسبتاً پائین و نیازمند امکانات و همین‌طور تجربه کافی جهت تفسیر نتایج است و نتایج منفی کاذب نسبتاً زیاد به چشم می‌خورد، به خاطر اینکه برخی از گونه‌های پرنیاز مایکوپلازماها نظیر مایکوپلازما هیورینیس و غیره به سختی در محیط‌های کشت میکروبی رشد می‌کنند. روش‌های غیرکشت شامل: غربالگری آدنوزین فسفوریلاز (Adop)، تکنیک نشانگر کشت سلولی، رنگ‌آمیزی DNA فلوروکروم، رنگ‌آمیزی بافت شناسی، میکروسکوپ الکترونی، روش‌های بیوشیمیایی، روش‌های ایمنولوژیکی، روش‌های DNA-DNA هیبریداسیون و DNA-RNA هیبریداسیون و PCR تک مرحله‌ای و دو مرحله‌ای (Nested PCR)، PCR-ELISA، PCR اختصاصی جنس و گونه مایکوپلازما با پرایمرهای یونیورسال و اختصاصی و مولتیپلکس طراحی شده و Real time PCR و غیره می‌باشند (۴، ۵، ۱۵، ۱۶، ۱۸، ۲۰، ۲۱، ۲۲، ۲۴، ۳۹، ۴۶، ۵۷، ۶۵). در این مقاله پژوهشی از روش کشت میکروبی به عنوان استاندارد طلایی

ب) DNA سویه های مختلف مولیکوت ها (مایکو پلاسما ها) و باکتری های مورد نیاز به عنوان نمونه های کنترل مثبت و کنترل منفی جهت آزمون PCR اختصاصی جنس مایکو پلاسما

DNA سویه های مختلف مولیکوت ها (مایکوپلاسما ها) و باکتری های مختلف از کلکسیون های معتبر ATCC و NCTC به نام های اوره آپلازما آوره آلیتیکوم (NCTC 10177T)، مایکوپلاسما ژنیتالایوم (NCTC 10195)، مایکوپلاسما سالیواریوم (NCTC 10113)، مایکوپلاسما پنومونیه (NCTC 10119)، آکوله پلاسما لایدلاوی (ATCC 23206)، مایکوپلاسما اورال (ATCC 23714)، مایکوپلاسما هیورینیس (ATCC 17981)، مایکوپلاسما فرمنتنس (ATCC 19989)، مایکوپلاسما هومینیس (ATCC 23114)، مایکوپلاسما آرژینینی (ATCC 23838) و مایکوپلاسما پیروم (NCTC 11702) به عنوان نمونه های کنترل مثبت جهت آزمون PCR اختصاصی جنس مایکوپلاسما و DNA سویه های مختلف باکتری های گرم مثبت و گرم منفی به نام های استافیلوکوکوس اورئوس (ATCC 25923)، پروتئوس میرابیلیس (ATCC 49565)، باسیلوس سوبتیلیس (ATCC 6633)، سودوموناس آتروژینوزا (ATCC 49189) به عنوان نمونه های کنترل منفی جهت اثبات و نشان دادن عدم تداخل واکنش با پرایمر های یونیورسال اختصاصی جنس مایکوپلاسما جهت آزمون PCR مورد مطالعه و ارزیابی قرار گرفتند.

ج) شناسایی آلودگی رده های سلولی به مایکوپلاسما به روش کشت میکروبی

برای انجام کشت میکروبی از محیط مشکوک به آلودگی مایکوپلاسمایی ابتدا ۱ الی ۲ میلی لیتر نمونه کشت سلولی خوب رشد کرده و رنگ محیط را کاملاً زرد نموده (ترجیحاً بهتر است که هم از سوپ سلولی به انضمام خود رده سلولی مورد نظر مشکوک به آلودگی، برداشته شود) به محیط اختصاصی PPLO برات (حاوی گلوکز و آرژینین) اضافه شد و به مدت ۲۴ تا ۷۲ ساعت در انکوباتور CO<sub>2</sub> دار، در دمای ۳۷ درجه سانتی گراد انکوبه شد. سپس محیط PPLO برات به خوبی به هم زده شد تا یک کدورت یکنواختی ایجاد شود. بعد به اندازه ۱ میلی لیتر از محیط PPLO برات داخل لوله های اپندورف، ریخته و به مدت

(Gold standard) به همراه روش های آنزیمی® mycoalert mycoplasma detection kit شرکت Lonza و روش مولکولی PCR با پرایمرهای یونیورسال (عمومی) طراحی شده برای ارزیابی و سنجش آلودگی مایکوپلاسمایی در کشت های سلولی بانک سلولی انستیتوپاستور ایران به منظور اهداف کاربردی مشخص شده در زیر اقدام گردیده است:

۱- مقایسه حساسیت، اختصاصیت، صحت و سرعت عمل تشخیصی روش های مختلف تشخیصی در رده های سلولی آلوده به مایکوپلاسما.

۲- انتخاب بهترین روش به عنوان روش استاندارد و سریع و دقیق با حساسیت و اختصاصیت بالا در بخش بانک سلولی انستیتوپاستور ایران.

## مواد و روش ها

### الف) کشت رده های سلولی:

مطابق جدول ۴۰،۱ رده سلولی حیوانی و انسانی مختلف از بانک سلولی انستیتو پاستور ایران به صورت کاملاً تصادفی (Random) برای ارزیابی و آنالیز سه روش تشخیصی میکروبی، آنزیمی و مولکولی PCR مورد مطالعه و ارزیابی قرار گرفتند. رده های سلولی مورد نظر به منظور رشد و تکثیر سلولی در دمای اتمسفر و مرطوب حاوی ۵٪ گاز CO<sub>2</sub> و رطوبت ۸۸٪ و دمای ۳۷ درجه سانتی گراد قرار داده شدند. محیط های کشت سلولی با ۲۰٪-۱۰٪ مکمل غذایی FBS (سرم جنین گاوی) تلقیح گردیدند. در ضمن فاکتور های رشد وابسته به رده های سلولی مورد نظر، فاکتور های اختصاصی رشد سلولی و یا محیط های کشت سلولی اختصاصی رده های سلولی مورد نظر مطابق با دستور العمل مربوط افزوده گردیدند. البته ناگفته نماند که همه مکمل های غذایی رشد سلولی از جمله سرم های تجاری (FBS)، محیط های کشت سلولی، محلول های شستشو PBS، تریپسین و سایر مواد مصرفی به کار رفته از بابت عدم آلودگی مایکوپلاسمایی و منفی بودن مورد تأیید قرار گرفتند. ضمناً برای تشخیص آلودگی مایکوپلاسمایی، رده های سلولی مورد نظر حداقل برای مدت یک هفته، بعد از هاروست کردن در محیط کشت سلولی قرار گرفته و کشت های سلولی حداقل برای مدت سه روز نباید تعویض محیط گردند و نمی بایستی در طول این مدت آنتی بیوتیکی به محیط های کشت سلولی اضافه شود (۹).

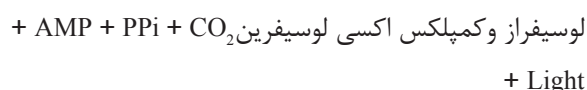
۱۰ دقیقه در دور ۱۰۰۰۰ سانتریفوژ شد. در مرحله بعد محیط رویی خالی شد و از رسوب حاصله در ته لوله اپندورف به میزان ۱۰۰ میکرولیتر برداشت و در محیط کشت جامدمایکوپلاسما، PPLO آگار (حاوی گلوکز و آرژینین) بدون پخش کردن، قرار داده شد. سپس درب پلیت PPLO آگار با پارافین یا چسب به منظور جلوگیری از آلودگی و خشک شدن در معرض هوا، خوب چسبانده شد و در انکوباتور CO<sub>2</sub> دار به مدت ۳ الی ۴ هفته در دمای ۳۷ درجه سانتی‌گراد، نگهداری شد و هر ۲ الی ۳ روز در زیر میکروسکوپ نوری، سطح محیط جهت دیدن کلنی های تخم مرغی شکل یا غیرتپیک مایکوپلاسما (شکل ۱) مورد بررسی قرار گرفت (۱۴،۱۲).

#### د) شناسایی آلودگی مایکوپلاسمایی از طریق روش آنزیمی کیت mycoalert® mycoplasma detection kit شرکت Lonza

روش آنزیمی mycoalert® یک تست انتخابی بیوشیمیایی است که میزان فعالیت‌های مشخص و معین آنزیم‌های مایکوپلاسما به نام استات‌کینازها و کاربامات‌کینازها را نشان می‌دهد. حضور این آنزیم‌های ویژه مایکوپلاسمایی، به عنوان یک روش سریع غربال‌گری برای تشخیص حساس آلودگی مایکوپلاسمایی را در نمونه رده سلولی موردنظر فراهم می‌آورند. زمانی که مایکوپلاسمای زنده لیز می‌شوند، این آنزیم‌ها قادرند با واکنش با سوبستراهای فسفات کارباموئیل یا فسفات استیل، آدنوزین دی‌فسفات (ADP) را به ATP (آدنوزین تری فسفات) کاتالیزوتبدیل نمایند (۳۲،۲۶).

با اندازه‌گیری میزان ATP تولید شده در هر نمونه قبل و بعد از اضافه کردن سوبسترای mycoalert®، که این نسبت  $\text{Ratio } \frac{B}{A}$  (به عنوان اندیکاتوری است که حضور یا عدم حضور مایکوپلاسما را در کشت‌های سلولی مورد نظر را به ما نشان می‌دهد. اگر این آنزیم‌ها حضور نداشته باشد خوانش دوم نسبت به خوانش اول، هیچ افزایشی را نشان نخواهد داد که نسبت  $\text{Ratio } \frac{B}{A}$  کوچکتر از عدد ۱ را نشان می‌دهد، که حاکی از عدم آلودگی رده‌ی سلولی مورد نظر می‌باشد. در زمانی که آنزیم‌های مایکوپلاسمایی با سوبستراهای ویژه در کیت mycoalert® واکنش دهند، منجر به افزایش سطح ATP تولیدی خواهد شد، که این افزایش ATP با استفاده از واکنش بیولومینسانس ذیل توسط دستگاه لومینومتر

شناسایی خواهد شد (که نسبت  $\text{Ratio } \frac{B}{A}$  بزرگتر از عدد ۱ را نشان خواهد داد که حاکی از آلودگی رده‌ی سلولی مورد نظر به مایکوپلاسما می‌باشد). که خلاصه مکانیسم واکنش به صورت ذیل می‌باشد:



که شدت نور تابش شده (ساطع شده) به صورت خطی با میزان غلظت ATP تولید یا آزاد شده ارتباط دارد که توسط دستگاه لومینومتر اندازه‌گیری می‌شود و ضمناً کل مراحل این واکنش می‌بایستی در شرایط دمایی آزمایشگاه (۲۲-۱۸ درجه سانتی‌گراد) انجام گیرد که دمای اپتیم (مناسب) برای فعالیت لومینوراز می‌باشد.

مراحل انجام واکنش به ترتیب ذیل می‌باشد:

۱- ابتدا ۲ میلی‌لیتر از کشت سلولی یا سوپرناتانت سلولی به لوله سانتریفوژ منتقل شده، با دور RPM ۱۵۰۰ به مدت ۵ دقیقه سانتریفوژ شد.

۲- ۱۰۰ ماکرولیتر از سوپرناتانت سانتریفوژ شده به کووت لومینومتر منتقل گردید.

۳- زمان برنامه خوانش دستگاه لومینومتر را بر روی ۱ ثانیه تنظیم شد.

۴- ۱۰۰ ماکرولیتر معرف mycoalert® (Reagent)، به هر نمونه اضافه و گرفته شد.

۵- بعد از ۵ دقیقه، خوانش اول در عرض ۱ ثانیه با دستگاه لومینومتر انجام گرفت (خوانش A)

۶- سپس ۱۰۰ ماکرولیتر سوبسترای mycoalert® (substrate) به هر نمونه اضافه شد و ۱۰ دقیقه زمان گرفته شد.

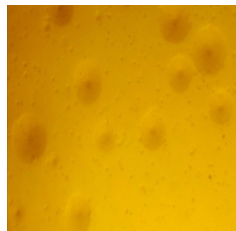
۷- بعد از ۱۰ دقیقه، خوانش دوم در عرض ۱ ثانیه با دستگاه لومینومتر انجام شد. (خوانش B).

۸- حال نسبت  $\text{Ratio } \frac{B}{A}$  که اگر بزرگتر یا کوچکتر از عدد ۱ باشد، به عنوان نسبتی است که آلودگی یا عدم آلودگی مایکوپلاسمایی رده‌ی سلولی مورد نظر را به ما نشان خواهد داد.

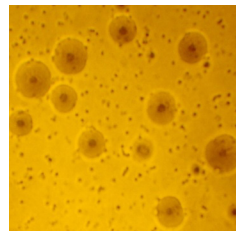
جدول ۱- لیست رده های سلولی که به صورت تصادفی (Random) جهت بررسی آلودگی میکوپلاسمایی از آزمایشگاه کشت روتین سلولی به تعداد ۴۰ عدد تحویل گرفته شد که توسط ۳ روش کشت میکروبی و آنزیمی mycoalert mycoplasma detection kit شرکت Lonza و مولکولی PCR مورد ارزیابی و بررسی قرار گرفت:

| ردیف | کد بانک سلولی ایران | نام رده های سلولی    | مشخصات کلی سلولی                                     |
|------|---------------------|----------------------|--|
| ۱    | NCBI C612           | C6/36                | Aedes albopictus(mosquito,Asian tiger)               |
| ۲    | NCBI C149           | MOLT4                | Human Acute T lymphoblastic leukemia                 |
| ۳    | NCBI C450           | 5637                 | Human bladder carcinoma                              |
| ۴    | NCBI C483           | J774A.1              | Mouse Monocyte/Macrophage                            |
| ۵    | NCBI C135           | MCF7                 | Human Breast Adenocarcinoma                          |
| ۶    | NCBI C516           | MOLT17               | Human T cell leukemia                                |
| ۷    | NCBI C161           | L929                 | Mouse connective tissue fibroblast                   |
| ۸    | NCBI C565           | QUDB                 | Human large cell lung carcinoma                      |
| ۹    | NCBI C540           | B16F10               | Mouse melanoma                                       |
| ۱۰   | NCBI C549           | C1300 Clone NA       | Mouse neuroblastoma                                  |
| ۱۱   | NCBI C437           | HT1080               | Human fibrosarcoma                                   |
| ۱۲   | NCBI C118           | 1321N1               | Human brain astrocytoma                              |
| ۱۳   | NCBI C131           | AGS                  | Human Caucasian gastric adenocarcinoma               |
| ۱۴   | NCBI C124           | RAJI TK <sup>+</sup> | Human Burkitt's lymphoma(Thymidine kinase positive)  |
| ۱۵   | NCBI C138           | RAJI TK <sup>-</sup> | Human Burkitt's lymphoma(Thymidine kinase deficient) |
| ۱۶   | NCBI C181           | KE37                 | Human T cell acute lymphoblastic leukemia            |
| ۱۷   | NCBI C577           | BE(2)-C              | Human neuroblastoma                                  |
| ۱۸   | NCBI C578           | MDA-MB231            | Human breast adenocarcinoma                          |
| ۱۹   | NCBI C153           | PC12                 | Rat Adrenal fibroblast pheochromocytoma              |
| ۲۰   | NCBI C428           | DU145                | Human prostatic carcinoma                            |
| ۲۱   | NCBI C433           | MDA-MB361            | Human breast adenocarcinoma                          |
| ۲۲   | NCBI C209           | SKOV3                | Human ovary adenocarcinoma                           |
| ۲۳   | NCBI C160           | Luckes               | Human Burkitt's lymphoma                             |
| ۲۴   | NCBI C103           | BL 28                | Human Burkitt's lymphoma                             |
| ۲۵   | NCBI C146           | SW742                | Human Colorectal Adenocarcinoma                      |
| ۲۶   | NCBI C459           | MIA Paca-2           | Human Pancreatic carcinoma                           |
| ۲۷   | NCBI C482           | M-NFS-60             | Mouse Myeloid Leukemia                               |
| ۲۸   | NCBI C456           | Me13                 | Rhesus mammary gland carcinoma                       |
| ۲۹   | NCBI C141           | G-8                  | Mouse Swiss Webster myoblast                         |
| ۳۰   | NCBI C207           | SKBR3                | Human breast adenocarcinoma                          |
| ۳۱   | NCBI C137           | A549                 | Human-lung-carcinoma                                 |
| ۳۲   | NCBI C143           | COS7                 | Monkey Kidney SV40 Transformed                       |
| ۳۳   | NCBI C110           | B95.8                | Marmoset-EBV transformed lymphocytes                 |
| ۳۴   | NCBI C114           | E14                  | Mouse T Cell lymphoma                                |
| ۳۵   | NCBI C111           | CHO                  | Chinese hamster Ovary                                |
| ۳۶   | NCBI C515           | NB4                  | Human acute promyelocytic leukemia                   |
| ۳۷   | NCBI C598           | HSKMC                | Human fetal skeletal muscle cells                    |
| ۳۸   | NCBI C555           | MG63                 | Human osteosarcoma                                   |
| ۳۹   | NCBI C212           | Nalm6                | Pre B cell leukemia                                  |
| ۴۰   | NCBI C453           | Saos2                | Human osteogenic sarcoma                             |

MG63



Ve



شکل ۱- کشت میکروبی بر روی محیط PLO Agar رده سلولی Vero به عنوان کنترل مثبت (سمت راست) و رده سلولی MG63 (سمت چپ) آلوده به میکوپلازما

## ه) روش شناسایی آلودگی مایکوپلاسمایی به روش مولکولی PCR

برای انجام PCR اختصاصی جنس مایکوپلازما، قبل از هر چیز بایستی به استخراج DNA مایکوپلاسمایی از نمونه سلول مشکوک به آلودگی مایکوپلاسمایی انجام شود که در همین ارتباط، روش های متعددی برای استخراج DNA مایکوپلاسمایی از سوپ سلولی (سوپرناتانت) و یا خود پلت سلولی (رسوب سلولی) وجود دارد که از آن جمله می‌توان روش‌های ۱- سانتیفریژ کردن ۲- جوشاندن ۳- استفاده از آنزیم پروتئیناز K را نام برد. در این تحقیق برای استخراج DNA ژنومیک از گونه‌های مختلف مایکوپلازما و رده‌های سلولی مورد نظر مطابق با پروتوکول‌های استاندارد شرح داده شده توسط Tang و همکارانش (سال ۲۰۰۰ میلادی) البته با کمی اصلاحات استفاده شد (۴۷). ابتدا از محیط کشت سلولی حاوی رده سلولی مورد نظر که به فاز انتهایی لگاریتمی رشد خود رسیده‌اند، مقداری حداقل ۱۰۰/۰۰۰ تا ۲۰۰/۰۰۰ سلول مورد نظر هاروست شده به مدت ۱ دقیقه با دور ۱۲۰۰۰g سانتیفریژ گردیدند. سپس رسوب سلولی (پلت سلولی) در بافر STE (۱۰ میلی‌مول NaCl، ۲۰ میلی‌مول تریس HCL و ۱ میلی‌مول EDTA با PH برابر ۸) دوباره به صورت سوسپانسیون در آمده و برای مدت ۲ ساعت در دمای ۳۷ درجه سانتی‌گراد با ۱٪  $\frac{\text{وزن}}{\text{حجم}}$  SDS و ۴۰ میکروگرم در میلی‌لیتر پروتئیناز K (Promega, USA) انکوبه گردیدند. سپس پروتئین‌ها با اضافه کردن حجم معادل فنل- کلروفرم- الکل ایزوآمیل به نسبت (۱:۲۴:۲۵) رسوب گردیدند. مجموع اسیدهای نوکلئیک یا DNA، سپس با اضافه کردن ۰/۱ حجم استات سدیم ۳ مولار (با pH برابر ۵/۲) و ۲/۵ حجم الکل اتانول ۹۶٪  $\left(\frac{\text{حجم}}{\text{حجم}}\right)$  رسوب گردیدند. در ادامه، رسوب سلولی (پلت سلولی)، با الکل اتانول ۷۰٪  $\left(\frac{\text{حجم}}{\text{حجم}}\right)$  شستشو داده شده و برای مدت ۱۵ تا ۳۰ دقیقه در معرض هوا قرار گرفته تا کاملاً خشک شود. سرانجام رسوب DNA سلولی در آب مقطر استریل فاقد DNA و RNA به صورت سوسپانسیون در آمد و جهت نگهداری طولانی مدت، DNA مربوطه را به فریزر ۲۰- درجه سانتی‌گراد منتقل کرد (۴۷،۳۴،۳۳).

## و- اولیگونوکلوئوتیدها و PCR اختصاصی برای تشخیص مایکوپلازما در رده‌های سلولی آلوده

برای شناسایی آلودگی مایکوپلاسمایی رده‌های سلولی مربوطه به روش PCR، یک پرایمر یونیورسال (عمومی) با استفاده از نرم‌افزار کامپیوتری مربوطه (Gene-Runner نسخه ۳/۰۵) براساس ناحیه محافظت شده بین گونه‌های 16SrRNA ریپوزومی مولیکوت‌ها طراحی و توسط شرکت سیناژن سفارش و ساخته شد (۳۴،۳۳). پرایمر یونیورسال مربوطه به ترتیب دارای مقادیر مساوی نوکلئوتید تیمین و سیتوزین در موقعیت ۱۳ (Y) برای پرایمر جلویی با طول ۲۲ bp و مقادیر مساوی نوکلئوتید آدنین و گوانین در موقعیت ۲۰ (R) برای پرایمر عقبی با طول ۲۱ bp می‌باشد (جدول ۲) و در حجم ۲۵ میکرولیتر اجزاء مخلوط واکنش PCR فراهم شده به ترتیب عبارتند از: بافر ۱۰x PCR (۲/۵ میکرولیتر)، دی‌نوکلئوتیدتری فسفات‌ها (dNTPها) با غلظت ۵۰ میکرومول (۱ میکرولیتر)، پرایمرهای جلویی و عقبی با غلظت ۱۵ پیکومول از هر کدام (۳ میکرولیتر از هر کدام)، آنزیم Taq DNA پلیمرز با غلظت ۱U (۱ میکرولیتر)، کلرید منیزیم  $(\text{MgCl}_2)$  با غلظت ۱/۵ میلی‌مول (۱ میکرولیتر)، آب مقطر استریل و DNA-RNA free (۱۲/۵ میکرولیتر) و DNA ژنومیک مایکوپلاسمایی با غلظت ۰/۱ میکروگرم و یا DNA رده‌ی سلولی مورد نظر با غلظت ۱ میکروگرم (۱ میکرولیتر) به عنوان DNA الگو واکنش می‌باشد. برنامه پروفایل حرارتی سیکل‌های PCR به قرار ذیل می‌باشد: دمای ابتدایی یا دمای دناتوراسیون (واسرشت اولیه)، دمای ۹۴ درجه سانتی‌گراد برای مدت ۳ دقیقه و برنامه پروفایل حرارتی PCR برای ژن مربوطه در ۳۲ سیکل شامل: دمای دناتوراسیون (واسرشت) در دمای ۹۴ درجه سانتی‌گراد برای مدت ۶۰ ثانیه، دمای اتصال در دمای ۶۰-۵۵ درجه سانتی‌گراد برای مدت ۳۰ ثانیه و دمای گسترش در دمای ۷۲ درجه سانتی‌گراد برای مدت ۲ دقیقه و دمای اتصال پرایمرهای اختصاصی جنس مایکوپلازما (یونیورسال) ۵۵ درجه سانتی‌گراد و دمای اتصال پرایمرهای اختصاصی گونه‌های مایکوپلازما ۶۰ درجه سانتی‌گراد می‌باشد و سایر شرایط PCR اختصاصی جنس و گونه مایکوپلازما یکسان است و سپس محصولات PCR با ژل آگاروز ۱٪ درصد  $\left(\frac{\text{وزن}}{\text{حجم}}\right)$  آنالیز گردیده و قطعات DNA

تکثیر توسط دستگاه UV ترانس لومیناتور، بعد از رنگ آمیزی با اتیدیوم بروماید مورد بررسی واقع گردیدند. ضمناً طول قطعه تکثیر یافته (آمپلیکون سایز) و درصد سیتوزین و گوانین و دمای ذوب پرایمرهای جلویی و عقبی و سکانس (ترادف) پرایمرهای یونیورسال مخصوص جنس مایکوپلاسما، مطابق جدول مربوطه (جدول ۲) می باشد در آخر لازم به تذکر است که برای انجام PCR مناسب، نیاز ضروری به بهینه سازی و روش PCR اختصاصی برای جنس و گونه های مختلف مایکوپلاسماها، کاملاً محسوس و ضروری می باشد.

## یافته ها

در این پژوهش از ۴۰ رده سلولی حیوانی و انسانی که به طور تصادفی (Random) از آزمایشگاه روتین کشت سلولی تحویل گردیده بود، توسط ۳ روش مختلف کشت میکروبی و آنزیمی Mycoalert® Mycoplasma detection kit و مولکولی PCR مورد ارزیابی و مطالعه قرار گرفتند (جدول ۳) و ضمناً از رده سلولی Vero آلوده به مایکوپلاسما (به عنوان کنترل مثبت واکنش) و رده سلولی NSO عاری از آلودگی مایکوپلاسما (به عنوان کنترل منفی واکنش) قبلاً توسط ۳ روش مختلف ذکر شده مورد بررسی قرار گرفته بودند که آلودگی رده سلولی Vero (رده سلولی کنترل مثبت) که آلودگی آن به مایکوپلاسما توسط هر دو روش PCR اختصاصی جنس و گونه مایکوپلاسما (که آلوده به ۳ گونه مایکوپلاسما هیورینیس، آرژینینی، فرمنتنس می باشد که از جمله گونه های غالب مایکوپلاسمایی در کشت های سلولی محسوب می شوند) علاوه بر روش های کشت میکروبی و آنزیمی mycoalert® (اشکال ۱، ۲، ۳) مورد تایید قرار گرفت و ضمناً رده سلولی NSO (رده سلولی کنترل منفی) توسط هر ۳ روش کشت میکروبی و آنزیمی mycoalert® و مولکولی PCR، منفی تشخیص داده شد. یافته های ما در ارتباط با کشت میکروبی ۴۰ رده سلولی، نشان می دهد که تعداد موارد مثبت (۱۶ مورد) با درصد (۴۰) و تعداد موارد منفی (۲۴ مورد) با درصد (۶۰) و در روش آنزیمی آزمون mycoalert® از ۴۰ رده سلولی، تعداد موارد مثبت (۲۱ مورد) با درصد (۵۲/۵) و تعداد موارد منفی (۱۹ مورد) با درصد (۴۷/۵) و در روش مولکولی PCR اختصاصی جنس مایکوپلاسما

با پرایمرهای یونیورسال طراحی شده از ۴۰ رده سلولی، تعداد موارد مثبت (۲۳ مورد) با درصد (۵۷/۵٪) و تعداد موارد منفی (۱۷ مورد) با درصد (۴۲/۵٪) نشان داده شدند و موارد منفی کاذب در روش کشت میکروبی و آنزیمی mycoalert® به ترتیب ۷ و ۲ مورد مشاهده گردیدند و موارد مثبت کاذب در هیچ مورد دیده نشدند. در ضمن با توجه به اینکه طبق اعلام شرکت سازنده Lonza حساسیت شناسایی روش آنزیمی mycoalert® برای شناسایی آلودگی مایکوپلاسمایی در کشت های سلولی کمتر از  $50 \text{ cfu/ml}$  اعلام گردیده است به عنوان مثال حساسیت آن برای تشخیص گونه های آکوله پلاسما لایدلاوی و مایکوپلاسما هیورینیس و مایکوپلاسما اورال  $20-10 \text{ cfu/ml}$  گزارش گردیده است. همچنین در تحقیقی که ما در این مطالعه انجام شد، رقت های مختلفی از کنترل مثبت خود کیت و رده سلولی آلوده به مایکوپلاسما (رده سلول Vero آلوده به مایکوپلاسما به عنوان کنترل مثبت) و سوش آکوله پلاسما لایدلاوی رقت های مختلفی از  $\frac{1}{2}$  تا  $\frac{1}{4096}$  تهیه گردید و حساسیت آزمون کیت مزبور تا رقت  $\frac{1}{256}$  (جدول ۴) مثبت گردید. در ضمن در دمای اتصال  $55^\circ$  درجه سانتی گراد، جفت پرایمر یونیورسال طراحی شده در آزمون PCR یک باند اختصاصی با سایز ۴۲۵ جفت باز با همه گونه های مایکوپلاسمایی مورد آزمایش و همین طور با همه گونه های مولیکوتس ایجاد نمود و در آزمون ویژگی جفت پرایمرهای یونیورسال طراحی شده، هیچ محصول اختصاصی (۴۲۵ جفت باز) با DNA باکتری های غیر مایکوپلاسمایی مورد آزمایش نظیر استاف اورئوس، باسیلوس سوبتیلیس، پروتئوس میرابیلیس و سودموناس آئروژینوزا و DNA رت، انسان و سایر یوکاریوت های پست دیده نشد (اشکال ۴ و ۵) و همچنین برای پی بردن به حساسیت پرایمر یونیورسال طراحی شده برای آزمون PCR، رقت های مختلفی از DNA استخراج شده سوش آکوله پلاسما لایدلاوی به صورت رقت های متوالی تهیه گردید و محصول تکثیری تا رقت  $10^{-8}$  (معادل ۱۰ فمتوگرم یا  $10 \text{ cfu/ml}$ ) مثبت گردید و این نشان از حساسیت و ویژگی و دقت بسیار بالای تکنیک PCR نسبت به سایر روش های مستقیم و غیرمستقیم دارد (شکل ۶).

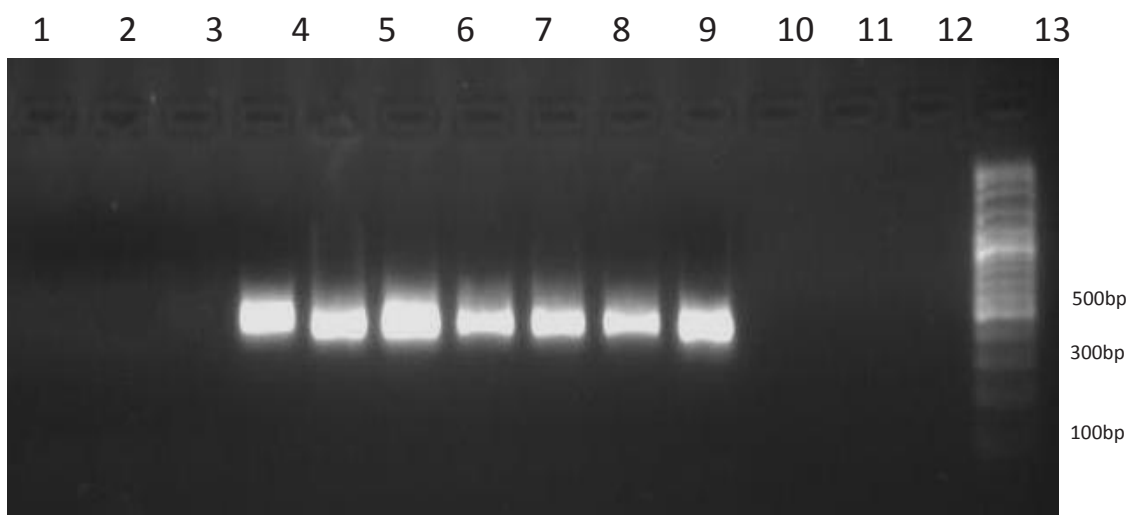
جدول ۲- جدول توالی مربوط به پرایمر های اختصاصی جنس و گونه های مختلف مایکوپلاسما

| mycoplasma species | Primer sequence                              | Amplicon size | GC       | Tm           |
|--------------------|--|---------------|----------|--------------|
| Universal primer   | S:GTG GGG AGG AAA YAG GAT TAG A              | 425 bp        | 45 to 50 | 53 to 54.8   |
|                    | AS:GGC ATG ATG ATT TGA CGT CRT               |               | 45 to 48 | 50.5 to 52.4 |
| M.arginini         | S: TGA TCA TTA GTC GGT GGA GAG TTC           | 326bp         | 46       | 55.7         |
|                    | AS: TAT CTC TAG AGT CCT CGA CAT GAC TC       |               | 46       | 58           |
| M. orale           | S: TGA TCA TTA GTC GGT GGA AAA CTA           | 325bp         | 38       | 52.3         |
|                    | AS: TAT CTC TAG AGT CCT CGA CAT GAC TC       |               | 46       | 58           |
| M.hyorhinis        | S: CGA TGA TCA TTA GTT GGT GGA ATA AAT       | 334bp         | 33       | 53.7         |
|                    | AS: AGG CAG TAT CTC TAG AGT CCT TAA CTT A    |               | 39       | 57           |
| M. fermentans      | S: TGA TCA TTA GCT GAT GGG GAA CT            | 324bp         | 43       | 53.5         |
|                    | AS: TCT CTT AGA GTC CTC AAC TAA ATG          |               | 38       | 52.3         |
| M.genitalium       | S: ATA GAT ACT AGC TGT CGG AGC GAT           | 335bp         | 46       | 55.7         |
|                    | AS: CCA ATT TAC ATT AGC AGT CTC GTT AA       |               | 35       | 53.2         |
| A.laidlawii        | S: GAT GAG AAC TAA GTG TTG GCC ATA A         | 300bp         | 40       | 54.4         |
|                    | AS: CGC TAG AGT CCC CAA CTT AAT GA           |               | 48       | 55.3         |
| M.hominis          | S: ATC ATT AGT CGG TGG AGA ATC A             | 301bp         | 41       | 55.1         |
|                    | AS: GCA GTA TCT CTA CTA GAG TCC TCA ACT TAAT |               | 39       | 59.1         |
| M.pirum            | S: TGG ATG TTA GAT GTC GGG GTA AA            | 324bp         | 43       | 53.5         |
|                    | AS: GTT GGC AGT ATC GCT AGA CAA A            |               | 41       | 56.7         |
| M.pneumoniae       | S: GAT ACT AGC TGT CGG GGC GAT               | 329bp         | 57       | 56.3         |
|                    | AS: AAT TTG CAT TAG TAG CAG TCT CGC TAG      |               | 41       | 56.7         |
| M.salivarium       | S: GAT CAT TAG TCG GCA GAG AAC TCG           | 324bp         | 50       | 57.4         |
|                    | AS: TAT CTC TAG AGT CCT CGA CAT GAC TC       |               | 46       | 58           |
| U.urealyticum      | S: CAT CAT TAA ATG TCG GCT CGA A             | 323bp         | 41       | 51.1         |
|                    | AS: CGG TAG CAG TAT CGC TAG AAA AGC          |               | 50       | 57.4         |

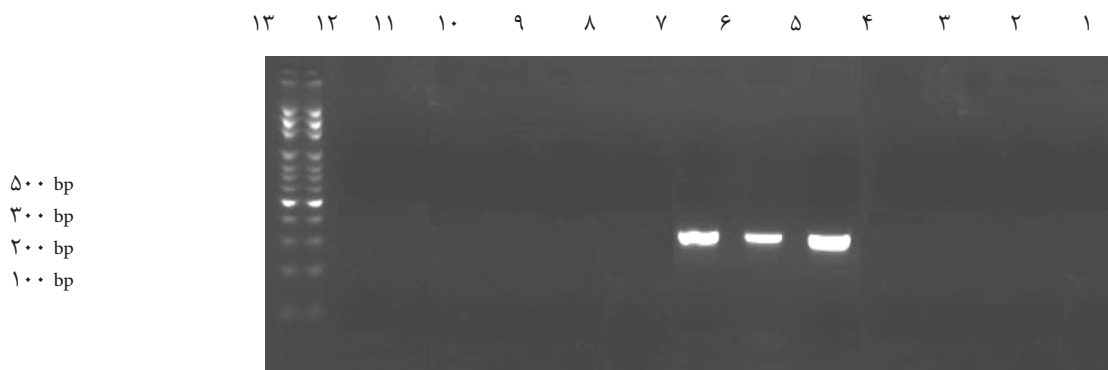


جدول ۳- نتایج ارزیابی ۴۰ رده سلولی مشکوک به آلودگی مایکو پلاسمایی که توسط آزمون های مختلف ۳ روش کشت میکروبی، مولکولی PCR و آنزیمی mycoalert شرکت Lonza مورد بررسی و ارزیابی قرار گرفت:

| ردیف | کد بانک سلولی ایران | نام رده های سلولی    | نتایج آزمون              |                 |          |
|------|---------------------|----------------------|--------------------------|-----------------|----------|
|      |                     |                      | کشت میکروبی              | mycoalert       | PCR      |
| ۱    | NCBI C612           | C6/36                | negative                 | negative        | negative |
| ۲    | NCBI C149           | MOLT4                | negative                 | negative        | negative |
| ۳    | NCBI C450           | 5637                 | negative                 | negative        | negative |
| ۴    | NCBI C483           | J774A.1              | negative                 | negative        | negative |
| ۵    | NCBI C135           | MCF7                 | positive                 | positive        | positive |
| ۶    | NCBI C516           | MOLT17               | Negative(False-negative) | positive        | positive |
| ۷    | NCBI C161           | L929                 | positive                 | positive        | positive |
| ۸    | NCBI C565           | QUDB                 | positive                 | positive        | positive |
| ۹    | NCBI C540           | B16F10               | Negative(False-negative) | positive        | positive |
| ۱۰   | NCBI C549           | C1300 Clone NA       | positive                 | positive        | positive |
| ۱۱   | NCBI C437           | HT-1080              | negative                 | negative        | negative |
| ۱۲   | NCBI C118           | 1321N1               | negative                 | negative        | negative |
| ۱۳   | NCBI C131           | AGS                  | positive                 | positive        | positive |
| ۱۴   | NCBI C124           | RAJI TK <sup>+</sup> | Negative(False-negative) | Positive(weak   | positive |
| ۱۵   | NCBI C138           | RAJI TK <sup>-</sup> | negative                 | negative        | negative |
| ۱۶   | NCBI C181           | KE-37                | positive                 | positive        | positive |
| ۱۷   | NCBI C577           | BE(2)-C              | positive                 | positive        | positive |
| ۱۸   | NCBI C578           | MDA-MB231            | Negative(False-negative) | positive        | positive |
| ۱۹   | NCBI C153           | PC12                 | positive                 | Negative(False- | positive |
| ۲۰   | NCBI C428           | DU145                | positive                 | positive        | positive |
| ۲۱   | NCBI C433           | MDA-MB361            | negative                 | negative        | negative |
| ۲۲   | NCBI C209           | SKOV3                | negative                 | negative        | negative |
| ۲۳   | NCBI C160           | Luckes               | negative                 | negative        | negative |
| ۲۴   | NCBI C103           | BL28                 | negative                 | negative        | negative |
| ۲۵   | NCBI C146           | SW742                | negative                 | negative        | negative |
| ۲۶   | NCBI C459           | MIA Paca-2           | Negative(False-negative) | Negative(False- | positive |
| ۲۷   | NCBI C482           | M-NFS-60             | Negative(False-negative) | positive        | positive |
| ۲۸   | NCBI C456           | MEL-III              | Negative(False-negative) | positive        | positive |
| ۲۹   | NCBI C141           | G-8                  | positive                 | positive        | positive |
| ۳۰   | NCBI C207           | SKBR3                | positive                 | positive        | positive |
| ۳۱   | NCBI C137           | A549                 | negative                 | negative        | negative |
| ۳۲   | NCBI C143           | COS7                 | positive                 | positive        | positive |
| ۳۳   | NCBI C110           | B95.8                | negative                 | negative        | negative |
| ۳۴   | NCBI C114           | EL4                  | positive                 | positive        | positive |
| ۳۵   | NCBI C111           | CHO                  | negative                 | negative        | negative |
| ۳۶   | NCBI C515           | NB4                  | positive                 | positive        | positive |
| ۳۷   | NCBI C598           | HSKMC                | negative                 | negative        | negative |
| ۳۸   | NCBI C555           | MG63                 | positive                 | positive        | positive |
| ۳۹   | NCBI C212           | Nalm6                | negative                 | negative        | negative |
| ۴۰   | NCBI C453           | Saos2                | positive                 | positive        | positive |



شکل ۲- نتایج الگوی الکتروفورز تکثیر محصول PCR رده های سلولی Vero (مایکوپلازما مثبت) و NSO (مایکوپلازما منفی) به عنوان رده های سلولی کنترل مثبت و کنترل منفی تست هایمان به انضمام تعدادی دیگری از رده های سلولی ذخیره شده در بانک سلولی ایران که از بابت آلودگی مایکوپلازمایی به ترتیب از چپ به راست عبارتند از: حفره اول: کنترل منفی، (DNA-free water) حفره دوم: کنترل منفی رده سلولی NSO (negative control)، حفره سوم: رده سلولی CHO (negative)، حفره چهارم: کنترل مثبت رده سلولی Vero (positive control)، حفره پنجم: رده سلولی L929 (positive)، حفره ششم: رده سلولی DU145 (positive)، حفره هفتم: رده سلولی MOLT17 (positive)، حفره هشتم: رده سلولی Saos2 (positive)، حفره نهم: رده سلولی B16F10 (positive)، حفره دهم: کنترل مثبت رده سلولی Vero (positive control)، حفره یازدهم: کنترل منفی رده سلولی NSO (negative control)، حفره دوازدهم: رده سلولی 5637 (negative)، حفره سیزدهم: رده سلولی J774.A (negative)، حفره چهاردهم: سایز مارکر (Roche VIII) 100bp DNA Ladder



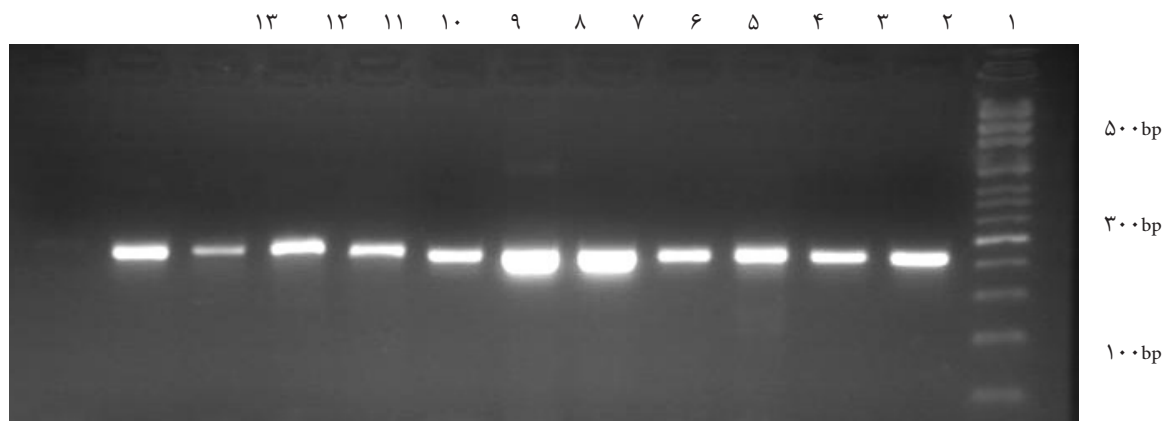
شکل ۳- نتایج الگوی الکتروفورز محصول PCR رده سلولی Vero آلوده به مایکوپلازما به عنوان کنترل مثبت با پرایمر های اختصاصی گونه های مختلف مایکوپلازما که به ترتیب از چپ به راست عبارتند از:

حفره اول: سایز مارکر (Roche VIII) 100 bp DNA Ladder، حفره دوم: با پرایمر اختصاصی گونه مایکوپلازما هومینیس (منفی)، حفره سوم: با پرایمر اختصاصی گونه مایکوپلازما پیروم (منفی)، حفره چهارم: با پرایمر اختصاصی گونه مایکوپلازما پنومونیه (منفی)، حفره پنجم: با پرایمر اختصاصی گونه آکوله پلاسما لایدلاوی (منفی)، حفره ششم: با پرایمر اختصاصی گونه مایکوپلازما سالیاریوم (منفی)، حفره هفتم: با پرایمر اختصاصی گونه مایکوپلازما هیورینیس (مثبت با آمپلیکون سایز ۳۳۴ bp)، حفره هشتم: با پرایمر اختصاصی گونه مایکوپلازما آرژینینی (مثبت با آمپلیکون سایز ۳۲۶ bp)، حفره نهم: با پرایمر اختصاصی گونه مایکوپلازما فرمنتنس (مثبت با آمپلیکون سایز ۳۲۴ bp)، حفره دهم: با پرایمر اختصاصی گونه مایکوپلازما اورال (منفی)، حفره یازدهم: با پرایمر اختصاصی گونه مایکوپلازما ژنیتالوم (منفی)، حفره دوازدهم: با پرایمر اختصاصی گونه اوره آ پلاسما اوره آلیتیکوم (منفی)، حفره سیزدهم: کنترل منفی (DNA-free water)

جدول ۴- ارزیابی نتایج آزمون mycoalert mycoplasma detection kit، کنترل مثبت خود کیت و تهیه رقت های مختلف ۱/۲ تا ۱/۴۰۹۶ از آن و تشخیص

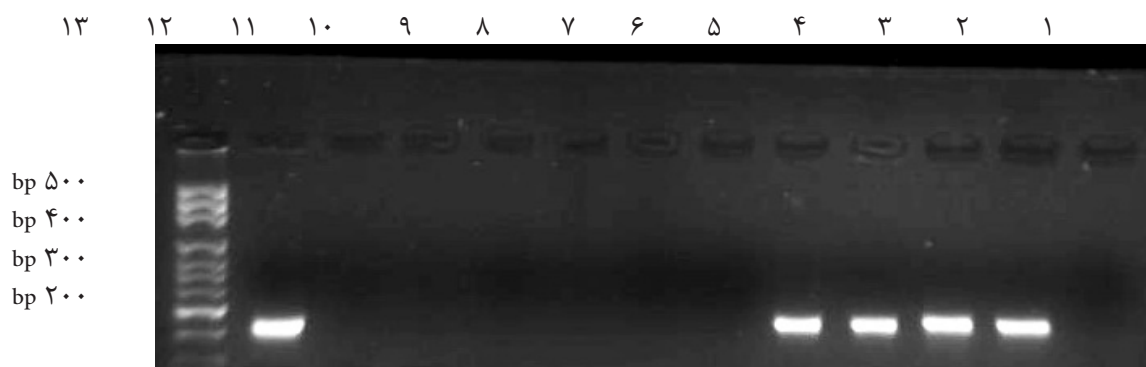
حساسیت کنترل مثبت کیت مربوطه با استفاده از دستگاه لومینومتر مدل FB12 Berthold detection systems

| نتیجه آزمون | B/A     | reading B | reading A | کنترل مثبت کیت مربوطه    |
|-------------|---------|-----------|-----------|--------------------------|
| Positive>۱  | ۱۵۱/۳۴۵ | ۲۰۶/۴۳۵   | ۱/۳۶۴     | کنترل مثبت رقیق نشده کیت |
| Positive>۱  | ۷۷/۵۵۳  | ۱۰۳/۴۵۶   | ۱/۳۳۴     | رقت ۱/۲                  |
| Positive>۱  | ۳۰/۹۸۵  | ۵۱/۶۸۳    | ۱/۶۶۸     | رقت ۱/۴                  |
| Positive>۱  | ۲۱/۳۴۹  | ۴۷/۱۶۱    | ۲/۲۰۹     | رقت ۱/۸                  |
| Positive>۱  | ۱۱/۸۶۴  | ۲۴/۶۱۸    | ۲/۰۷۵     | رقت ۱/۱۶                 |
| Positive>۱  | ۴/۵۳۶   | ۱۲/۸۹۳    | ۲/۸۴۲     | رقت ۱/۳۲                 |
| Positive>۱  | ۲/۳۵۵   | ۵/۵۵۶     | ۲/۳۵۹     | رقت ۱/۶۴                 |
| Positive>۱  | ۱/۱۷۰   | ۴/۱۹۰     | ۳/۵۷۹     | رقت ۱/۱۲۸                |
| Positive>۱  | ۱/۴۵۴   | ۳/۴۷۹     | ۲/۳۹۲     | رقت ۱/۲۵۶                |
| Negative<۱  | ۰/۷۹۶   | ۲/۱۹۰     | ۲/۷۵۱     | رقت ۱/۵۱۲                |
| Negative<۱  | ۰/۳۷۴   | ۱/۱۸۵     | ۳/۱۶۸     | رقت ۱/۱۰۲۴               |
| Negative<۱  | ۰/۴۴۷   | ۰/۹۸۵     | ۲/۲۰۳     | رقت ۱/۲۰۴۸               |
| Negative<۱  | ۰/۲۸۶   | ۰/۵۷۱     | ۱/۹۹۶     | رقت ۱/۴۰۹۶               |
| Negative<۱  | ۰/۶۳۰   | ۰/۶۸۱     | ۱/۰۸۰     | کنترل منفی کیت           |



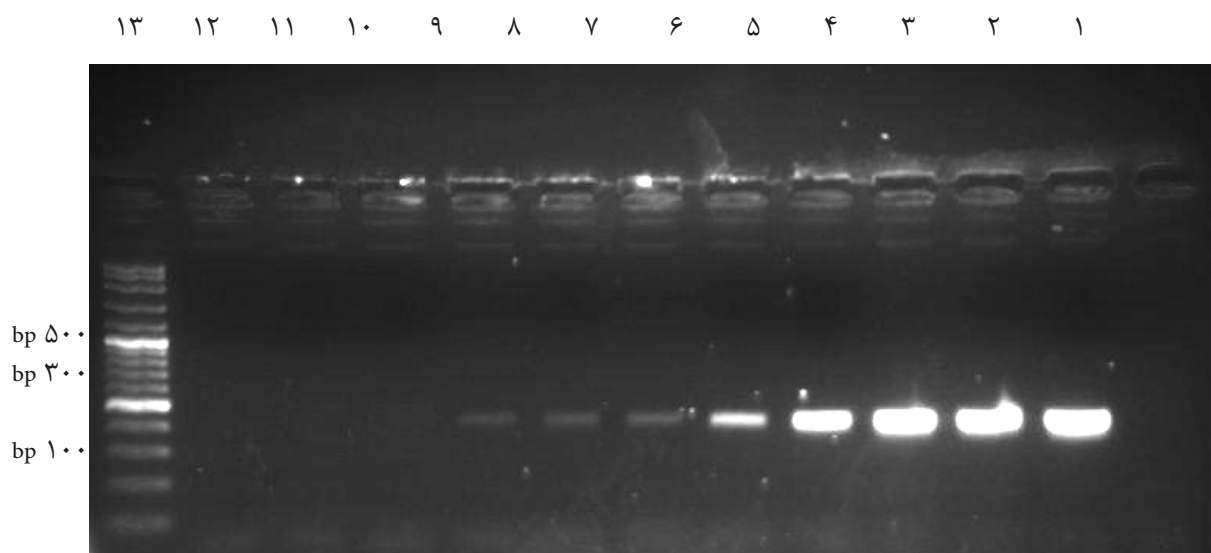
شکل ۴ - نتایج الگوی الکتروفورز تکثیر محصول PCR تعدادی از سوش های مایکوپلازما با پرایمر یونیور سال طراحی شده جنس مایکوپلازما که چاهک ها به ترتیب از سمت چپ به راست عبارتند از:

چاهک اول: سایز مارکر Roche VIII DNA Ladder (100 bp)، چاهک دوم: سوش مایکوپلازما اورالپ، چاهک سوم: سوش مایکوپلازما هیورینیس، چاهک چهارم: سوش مایکوپلازما آرژینینی، چاهک پنجم: سوش مایکوپلازما ژنیتالایوم، چاهک ششم: سوش مایکوپلازما هومینیس، چاهک هفتم: سوش آکوله پلاسما لایدلوی، چاهک هشتم: سوش مایکوپلازما سالیواریوم، چاهک نهم: سوش مایکوپلازما پیروم، چاهک دهم: سوش مایکوپلازما پنومونیه، چاهک یازدهم: سوش اوره آپلازما اوره آلیتیکوم، چاهک دوازدهم: سوش مایکوپلازما فرمنتنس، چاهک سیزدهم: کنترل منفی (DNA-free water).



شکل ۵- نتایج الگوی الکتروفورز تکثیر محصولات PCR حاصل از استخراج DNA سلول های آلوده و عاری از میکوپلاسما و سوش های مختلف باکتری و میکوپلاسما چاهکها از چپ به راست به ترتیب عبارتند از:

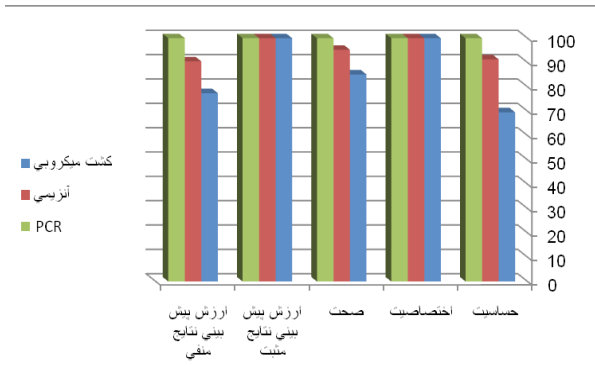
حفره اول: سایز مارکر Roche VIII DNA Ladder (100 bp)، حفره دوم: DNA کنترل مثبت رده سلول Vero positive، حفره سوم: DNA کنترل منفی رده سلولی NSO negative، حفره چهارم: DNA رده سلولی B95، حفره پنجم: DNA سویه باکتری استاف اورئوس، حفره ششم: DNA سویه باکتری پروتئوس میرابیلیس، حفره هفتم: DNA سویه باکتری باسیلوس سوبتیلیس، حفره هشتم: DNA سویه باکتری سودوموناس آئروژینوزا، حفره نهم: DNA رده سلولی COSY (positive)، حفره دهم: DNA رده سلولی MG63 (positive)، حفره یازدهم: DNA سوش میکوپلاسما هومینیس، حفره دوازدهم: DNA سوش میکوپلاسما اورال، حفره سیزدهم: کنترل منفی (DNA-free water)



شکل ۶: نتایج الگوی الکتروفورز آزمایش حساسیت PCR و تهیه رقت های دهدهی از سوش آکوله پلاسما لایدلاوی از رقت ۱-۱۰ تا رقت ۱۰-۱۰ به منظور حساسیت تشخیص پرایمر مورد نظر و چاهک ها به ترتیب از چپ به راست عبارتند از:

چاهک اول: کنترل منفی (DNA-free water)، چاهک دوم: رقت ۱-۱۰ معادل ۱۰۰ نانوگرم (مثبت)، چاهک سوم: رقت ۲-۱۰ معادل ۱۰ نانوگرم (مثبت)، چاهک چهارم: رقت ۳-۱۰ معادل ۱۰۰ پیکوگرم (مثبت)، چاهک پنجم: رقت ۴-۱۰ معادل ۱۰۰ پیکوگرم (مثبت)، چاهک ششم: رقت ۵-۱۰ معادل ۱۰ پیکوگرم (مثبت)، چاهک هفتم: رقت ۶-۱۰ معادل ۱ پیکوگرم (مثبت)، چاهک هشتم: رقت ۷-۱۰ معادل ۱۰۰ فمتوگرم (مثبت)، چاهک نهم: رقت ۸-۱۰ معادل ۱۰ فمتوگرم (مثبت)، چاهک دهم: رقت ۹-۱۰ معادل ۱ فمتوگرم (منفی)، چاهک یازدهم: رقت ۱۰-۱۰ معادل ۱۰۰ اتوگرم (منفی)، چاهک دوازدهم: کنترل منفی (DNA-free water)، چاهک سیزدهم: سایز مارکر Roche VIII DNA Ladder (100 bp)

## تجزیه و تحلیل آماری



نمودار ۱- بررسی پارامترهای آماری به هر سه روش مورد آزمون.

(کشت میکروبی و آنزیمی) از میزان حساسیت بیشتری (۱۰۰٪) برخوردار است، این در حالی است که در شرایط کاملا مشابه میزان حساسیت برای روش کشت میکروبی و آنزیمی با همان تعداد نمونه (۴۰ مورد) به ترتیب این میزان برابر ۶۹٫۵۶٪ و ۹۱٫۳۰٪ بوده است همچنین میزان اختصاصیت هر سه آزمون برابر ۱۰۰٪ می باشد. میزان دقت هر آزمون به شرح زیر است: آزمون کشت میکروبی میزان دقتی برابر ۸۵٫۱۰٪ دارد، آزمون آنزیمی دقتی برابر ۹۵٫۲۳٪ و آزمون PCR میزان دقت ۱۰۰٪ را دارا می باشد. اما ارزش پیش بینی نتایج مثبت برای هر سه آزمون برابر ۱۰۰٪ می باشد، اما ارزش پیش بینی نتایج منفی برای آزمون PCR برابر ۱۰۰٪، آزمون آنزیمی ۹۰٫۴۷٪ و آزمون کشت میکروبی برابر ۷۷٫۴۱٪ میباشد.

### مقایسه دو به دو روش ها

مقایسه دو به دو روش های آزمون کشت میکروبی، آنزیمی و PCR به شرح جدول زیر می باشد:

جدول ۶- مقایسه دو به دو روش

| آزمون       |        | مقدار آماره آزمون t- test | سطح معنی داری |
|-------------|--------|---------------------------|---------------|
| کشت میکروبی | آنزیمی | ۱٫۹۵۵                     | ۰٫۰۵۸         |
|             | PCR    | ۲٫۸۷۶                     | ۰٫۰۰۶         |
| آنزیمی      | PCR    | ۱٫۴۳۳                     | ۰٫۱۶۰         |

برای بررسی و ارزیابی نتایج آزمون های کشت میکروبی و مولکولی PCR و آنزیمی mycoalert® از طریق آنالیز آماری به کمک نرم افزار معتبر و مربوطه به نام IBM SPSS Statistics version 20، برنامه (Excell 2007)، با استفاده از فرمول های مربوطه به شرح ذیل به بررسی پارامترهای آماری زیر پرداخته شد:

$$\text{Sensitivity} = \frac{\text{مثبت واقعی}}{\text{مثبت واقعی} + \text{مثبت کاذب}} * 100$$

$$\text{Specificity} = \frac{\text{منفی واقعی}}{\text{منفی واقعی} + \text{منفی کاذب}} * 100$$

$$\text{Accuracy} = \frac{\text{مثبت واقعی} + \text{منفی واقعی}}{\text{تعداد کل}} * 100$$

$$\text{Predictive value of positive result} = \frac{\text{مثبت واقعی}}{\text{مثبت واقعی} + \text{مثبت کاذب}} * 100$$

$$\text{Predictive value of negative result} = \frac{\text{منفی واقعی}}{\text{منفی واقعی} + \text{منفی کاذب}} * 100$$

جدول ۵- مقایسه پارامترهای آماری مربوط به هر سه روش مورد آزمون

| ارزش پیش بینی نتایج مثبت | میزان دقت | میزان اختصاصیت | میزان حساسیت | نوع آزمون   |
|--------------------------|-----------|----------------|--------------|-------------|
| ۱۰۰٪                     | ۸۵٫۱۰٪    | ۱۰۰٪           | ۶۹٫۵۶٪       | کشت میکروبی |
| ۱۰۰٪                     | ۹۵٫۲۳٪    | ۱۰۰٪           | ۹۱٫۳۰٪       | روش آنزیمی  |
| ۱۰۰٪                     | ۱۰۰٪      | ۱۰۰٪           | ۱۰۰٪         | PCR         |

### نتایج آزمون آماری

با توجه به جدول شماره ۵ و نمودار شماره ۱ معین می شود که میزان حساسیت، میزان اختصاصیت، میزان صحت، ارزش پیش بینی نتایج مثبت و منفی هر آزمون چند درصد است. در اینجا روش PCR با تعداد نمونه ۴۰ مورد نسبت به دو روش دیگر

## بحث

کشت‌های سلولی به طور وسیعی در تحقیقات بیولوژیک و بیوتکنولوژی برای تولید فرآورده‌های بیودارویی و بیوزیستی مورد استفاده قرار می‌گیرند. مایکوپلازما از جمله عوامل آلوده کننده معمول و اجتناب ناپذیر رده‌های سلولی است و این مسئله مشکل عمده تحقیقات بیولوژیکی در استفاده از کشت‌های سلولی است و مایکوپلازماها می‌توانند، پارامترهای متعددی را در کشت‌های سلولی تحت تأثیر قرار دهند که موجب تغییرات بیوشیمیایی، ژنتیکی و ایمنولوژیکی و غیره شوند که در نتیجه منجر به تفسیر نامناسب آزمایشات و آلودگی فرآورده‌های بیولوژیک خواهد شد (۴۲، ۴۴). بنابراین سلول‌ها می‌بایستی قبل از استفاده حتماً از بابت آلودگی مایکوپلازمایی غربالگری گردند. ثابت شده است که میزان فراوانی آلودگی رده‌های سلولی به مایکوپلازما در سرتاسر جهان ۵٪ تا ۳۵٪ و با درصد آلودگی‌های مختلفی ۱۶٪-۵٪ (۲۸، ۸۷)؛ ۵٪-۲۵٪ (۲۹، ۳۰)؛ ۲۹٪، (۳۶)؛ ۲۳٪، (۴)؛ ۳٪ تا ۶۳٪ (۵۱)، ۲۵٪ تا ۲۹٪ (۱۷)، ۱۵٪ تا ۳۵٪ (۱) گزارش گردیده است. امروزه مایکوپلازموپلوژیست‌ها، تکنیک‌های مستقیم و غیرمستقیم برای تشخیص آلودگی مایکوپلازما در کشت‌های سلولی را توسعه داده‌اند. واژه مستقیم اشاره دارد به رشد کلنی میکروبی کلاسیک مایکوپلازما بر روی محیط کشت آگار که کلنی‌ها و سلول‌های زنده مایکوپلازما را مستقیماً مورد تشخیص قرار می‌دهد که از محسنات قابل توجه این روش، این است که چون با مایکوپلازماهای زنده سروکار داریم که برای ما بسیار ارزشمند است و نتایج مثبت کاذب در کشت‌های میکروبی بر خلاف روش‌های غیر مستقیم دیده نمی‌شود. واژه غیرمستقیم که اشاره دارد به روش‌هایی که محصولات ژنی مایکوپلازما را اندازه‌گیری می‌کنند یا بر اساس فعالیت‌های آنزیمی و متابولیکی و فرآورده‌های دیگر بنا نهاده شده است. خیلی از این تکنیک‌ها، پیچیده، تفسیر آن‌ها مشکل، ارزیابی‌های شخصی بحث برانگیز، طولانی مدت و گران قیمت دارند. یک روش ایده‌آل و مناسب بایستی سریع بوده و حساسیت اختصاصیت (ویژگی)، دقت (صحت) بالا داشته باشد و تفسیر آن آسان بوده از نظر ارزش اقتصادی مقرون به صرفه باشد. محیط‌های متعدد براث و آگار

با توجه به جدول ۶ معین می‌شود که چون سطح معنی داری، برای روش کشت و روش آنزیمی برابر ۰/۰۵۸ می‌باشد و از سطح ۰/۰۵ بیشتر می‌باشد بنابراین می‌توان بیان کرد که روش کشت میکروبی و آنزیمی تفاوت چندانی با یکدیگر ندارند. با مقایسه روش کشت میکروبی و روش PCR با توجه به این که سطح معنی داری، آزمون کمتر از ۰/۰۵ می‌باشد بنابراین با اطمینان ۹۵٪ می‌توان گفت روش کشت میکروبی و روش PCR تفاوت معناداری با یکدیگر دارند. به همین ترتیب با مقایسه دو آزمون آنزیمی و PCR چون سطح معناداری بیشتر از ۰/۰۵ می‌باشد بنابراین با اطمینان می‌توان بیان کرد که این دو روش نیز تفاوت چندانی با یکدیگر ندارند.

## رتبه بندی روش‌ها با استفاده از آزمون فریدمن

در این آزمون هرچه میانگین رتبه‌ها کمتر باشد اهمیت آن متغیر بیشتر است (جداول شماره ۷، ۸).

جدول ۷- میانگین رتبه هر روش

| میانگین رتبه | نوع آزمون                                 |
|--------------|---|
| ۱،۸۹         | PCR                                       |
| ۱،۹۶         | آنزیمی mycoalert mycoplasma detection kit |
| ۲،۱۵         | کشت میکروبی                               |

جدول ۸- نتایج آزمون فریدمن

| آماره آزمون | سطح معنی داری |
|-------------|---------------|
| ۹،۷۵۰       | ۰،۰۰۸         |

با توجه به جدول ۸ چون سطح معنی داری آزمون کمتر از ۰،۰۵ می‌باشد بنابراین ادعای یکسان بودن اولویت بندی این سه روش رد می‌شود بنابراین، این سه روش به ترتیب اهمیت اولویت بندی به صورت زیر قابل طبقه بندی می‌باشند:  
 ۱- روش PCR ۲- روش آنزیمی ۳- روش کشت میکروبی

برای کشت سلول های عاری از مایکوپلازما و کشت های آلوده به مایکوپلازما وجود دارند که شامل محیط های pH- Hay flick, Friis (اصلاح شده و غیر اصلاح شده) و محیط SP4 و DM<sub>1</sub> می باشد. برای کنترل کیفیت مناسب و بهتر، نتایج به دست آمده از کشت میکروبی، می بایستی با دومین روش تشخیصی تأیید گردد و برای گونه های مایکوپلازما که نمی توانند در محیط های کشت مصنوعی رشد کنند مانند (*M. hyorhinitis*, *M. vulturii*, *M. amphoriforme*, *M. orale*, *M. genitalium*), یک اندیکاتور سلولی به عنوان روش انتخابی مورد بررسی قرار خواهد گرفت که از معایب مهم و قابل توجه کشت میکروبی عدم رشد برخی از گونه های مهم مایکوپلازما نظیر گونه های فوق الذکر در محیط های کشت میکروبی می باشد که باعث ایجاد نتایج منفی کاذب می گردد که در مورد یافته های تحقیقی ما نیز دقیقاً ۷ مورد منفی کاذب در آزمون کشت میکروبی مشاهده گردید. همچنین از معایب دیگر روش های کشت میکروبی سرعت عمل بسیار پایین به خاطر کند رشد بودن و بالا بودن زمان تکثیر و تقسیم سلولی مایکوپلازماست (زمان تکثیر و تقسیم سلولی سلول های مایکوپلازما ۱ تا ۹ ساعت ذکر گردیده است) که مستلزم گذراندن زمان ۶-۲ هفته وقت در آزمایشگاه برای ظهور احتمالی کلنی های مایکوپلازما می باشد (۷). در روش آنزیمی به دلیل اینکه مایکوپلازما به دلیل فقدان سیستم سیتوکروم، مسیر تنفسی آن ها ناقص می باشد، که در غیاب چرخه تری کربوکسیلیک اسید به جز فعالیت مالات دی هیدروژناز، سیستم تولید ATP (آدنوزین تری فسفات) وابسته به فسفریلاسیون اکسیداتیو در آن ها متوقف می باشد. بنابراین مسیرهای تخمیری آرژنین و کربوهیدرات که از جمله سیستم های بقاء تولید ATP در اکثریت مولیکوت ها هستند، به جزء اوره آپلازما که عمدتاً سیستم تولید ATP در آن ها وابسته به هیدرولیز اوره می باشد. کیت *mycoalert*®، یک تست بیوشیمیایی است که هدف آن بر اساس حضور آنزیم های مایکوپلازما نظیر استات کینازها و کاربامات کینازها می باشد، که این آنزیم ها توانایی این را دارند که در حضور سوبستراهای فسفات استیل و فسفات کارباموئیل، آدنوزین دی فسفات (ADP) را به ATP (آدنوزین تری فسفات) کاتالیز و تبدیل نمایند که این تبدیل باعث تولید یک سیگنال

بیولومینسانس سیستم تشخیصی وابسته به لوسیفراز می شود که نور ساطع شده (منتشر شده) برای هر نمونه سلولی توسط دستگاه لومینومتر ثبت و اندازه گیری می شود که از محسنات روش آنزیمی (کیت *mycoalert*® *mycoplasma detection* kit شرکت Lonza) که بر خلاف روش های مولکولی مثل PCR چون با آنزیم های مایکوپلازما می و مایکوپلازما های زنده سروکار داریم از بابت ارزش تشخیصی مایکوپلازماهای زنده در کشت های سلولی آلوده بخصوص در ادامه روند درمان های کیموتراپوتیک یا آنتی بیوتیک تراپی برای ما خیلی ارزشمند و با اهمیت می باشد و ضمناً سرعت عمل بسیار بالای این روش، این است که نتایج لومینسانس و کمی لومینسانس که در عرض کمتر از ۲۰ دقیقه با حساسیت، اختصاصیت، دقت و صحت بالا مشخص می گردد و ما در مطالعه حاضر خودمان به جز دو مورد رده های سلولی PC12 (کد بانک سلولی NCBI C153) و MIA paca-2 (کد بانک سلولی NCBI C459) که با روش آنزیمی *mycoalert*® (منفی کاذب) گزارش گردید، بقیه موارد (۳۸ مورد رده های سلولی مابقی) نتایج آزمون PCR از بابت آلودگی و عدم آلودگی مایکوپلازما می رده های سلولی تست شده با روش آنزیمی *mycoalert*® کاملاً مطابقت داشت و در ضمن در این تحقیق، رقت های مختلفی از کنترل مثبت خود کیت و رده ی سلولی آلوده به مایکوپلازما (رده سلولی Vero آلوده به مایکوپلازما به عنوان کنترل مثبت) و سوش آکوله پلازما لایدلاوی، رقت های مختلفی به صورت رقت های متوالی تهیه گردید و حساسیت آزمون کیت مزبور تا رقت  $\frac{1}{256}$  (جدول ۴) مثبت گردید و از معایب عمده این تکنیک این است که اولاً چون با آنزیم های مایکوپلازما سروکار داریم از نظر میزان، تراکم و پایداری آنزیم های مزبور یعنی استات کینازها و کاربامات کینازها باید در حد قابل قبول در کشت های سلولی برای تشخیص مایکوپلازما توسط دستگاه لومینومتر باشند در غیر این صورت جواب منفی کاذب به دست می آید. ثانیاً این تکنیک قادر به شناسایی جنس و گونه های مختلف اوره آپلازماها از جمله اوره آپلازما اوره آلیتیکوم نمی باشد همچنین قابلیت تشخیص و تعیین گونه های اختصاصی جنس مایکوپلازما را ندارد (۲۶، ۳۲). تکنیک PCR با پروتوکلهایی که بر اساس نواحی RNA Sr 16 و نواحی

S16-23SrRNA ریبوزومی گونه‌های مختلف مایکوپلازما که شامل PCR تک مرحله‌ای و PCR دو مرحله‌ای (Nested PCR) و PCR اختصاصی جنس و گونه، ژل الکتروفوروزیس و Real Time PCR بنیان نهاده شده است. نتایج به دست آمده در این مطالعه، دلالت بر این امر دارد که می‌توان از سکانس‌های ثابت و مشترک Sr RNA 16 ریبوزومی موجود در مایکوپلازما در آزمون مولکولی PCR به عنوان یک هدف مناسب جهت تشخیص گونه‌های متعدد و آلوده کننده مایکوپلازمایی در سرم های حیوانی، کشت‌های سلولی و فرآورده‌های بیولوژیک استفاده نمود. این روش (PCR مولکولی) به طور ایده‌آل می‌بایستی نه تنها قادر به شناسایی ۸ گونه تیپیک آلوده کننده مایکوپلازما (مایکوپلازما هیورینیس، آرژینینی، اورال، فرمنتانس، سالیواروم، هومینیس، پیروم و آکوله پلازما لایدلاوی) که عامل بیش از ۹۸٪ آلودگی‌های کشت‌های سلولی می‌باشند را دارا باشد، بلکه می‌بایستی سایر گونه‌های آلوده کننده مولیکوت‌ها متعلق به جنس‌های مایکوپلازماها، آکوله پلازماها، اوره آپلازماها و اسپیروپلازماها (که عامل باقی‌مانده ۲٪ آلودگی است) را شناسایی نماید. در این تحقیق سعی شده است که یک سنجش PCR بر پایه پرایمرهای مخصوص جنس مایکوپلازما و هدف ژنی SrRNA 16 که مقاصد بالا را مهیا کند، توسعه داده شود بر این مبنای انتخاب سکانس‌های SrRNA 16، تعداد زیادی گونه‌های مختلف مایکوپلازما و صف بندی و تجزیه و تحلیل کامپیوتری با سکانس‌های دیگر پروکاریوت‌ها، پرایمرهای مخصوص جنس مایکوپلازما طراحی و ساخته شد. تکثیر *invitro* به وسیله PCR با استفاده از این جفت پرایمر منتج به تکثیر سکانس اعضاء مولیکوت‌ها ذکر شده در بالا و عدم تکثیر هیچ نوع محصول با سایر پروکاریوت‌ها گردید (اشکال ۳ و ۲). البته در این بررسی، مناسب بودن این جفت پرایمرها و سنجش جهت تشخیص آلودگی‌های مایکوپلازمایی در کشت‌های سلولی ثابت گردید و از محسنات قابل توجه روش مولکولی PCR بخصوص در یافته‌های تحقیقی ما که میزان حساسیت، اختصاصیت، صحت (دقت) و ارزش پیش بینی نتایج مثبت و منفی ۱۰۰٪ را در مقایسه با دو روش کشت میکروبی و روش آنزیمی نشان می‌دهد همچنین برای پی بردن به حساسیت پرایمر یونیورسال طراحی شده برای آزمون

PCR، رقت‌های مختلفی از DNA استخراج شده سوش آکوله پلازما لایدلاوی به صورت رقت های متوالی تهیه کرده و محصول تکثیری تا رقت  $10^{-8}$  (معادل  $10 \text{ cfu/ml}$ ) مثبت گردید و این نشان از حساسیت و ویژگی و دقت بسیار بالای تکنیک PCR نسبت به سایر روش‌های مستقیم و غیرمستقیم دارد (شکل ۶). از مهم ترین موارد قابل بحث، مزایای تکنیک کشت میکروبی و روش آنزیمی *mycoalert*® شرکت Lonza این است که در هر دو روش ذکر شده با ارگانسیم‌های زنده مایکوپلازما سر و کار دارد که این خود مزیتی بر حضور مایکوپلازماهای زنده در واکنش نسبت به PCR دارد، اما در روش مولکولی PCR با DNA ارگانسیم باکتری مورد نظر ماسرو کار داریم که ممکن است میکروارگانسیم مورد نظر زنده و یا مرده باشد که مثلاً ممکن است که در طول دوره درمان رده‌های سلولی با آنتی‌بیوتیک‌های مختلف مربوطه، ارگانسیم‌های زنده مایکوپلازما در رده‌ی سلولی مورد نظر کاملاً از بین رفته باشد، اما به خاطر حضور DNA ارگانسیم‌های مرده در کشت سلولی مزبور در واکنش PCR، موارد مثبت کاذب دیده شود که از جمله معایب قابل توجه نتایج مثبت کاذب روش‌های مولکولی PCR بخصوص آزمون PCR دو مرحله ای مثل Nested PCR محسوب می‌گردد (۵۲). مهم ترین عیب تکنیک رنگ آمیزی DNA با رنگ‌های فلوروکروم مشکل تفسیر نتایج آن است. این اشکال ناشی از حضور باکتری‌های آلوده کننده یا اسید نوکلئیک تجزیه شده که باعث ایجاد سیگنال فلوروسانس خارج هسته‌ای شده و بدین ترتیب حضور مایکوپلازما پنهان می‌گردد، ناشی می‌شود بنابراین در رنگ آمیزی DAPI Staining و H33258 موارد مثبت و منفی کاذب به طور قابل توجهی دیده می‌شود. تکنیک هیبریداسیون (دورگه سازی) بر پایه همان اصول PCR بنا نهاده شده است. اگرچه هر دو روش به طور نسبی سریع هستند، اما تفاوت‌هایی با هم دارند به طور مثال، گاهی تفسیر نتایج هیبریداسیون به دلایلی مشکل می‌شود. بدین معنی که نوعاً تفریق بین سیگنال‌های مخصوص و سیگنال‌های غیراختصاصی، به دلیل حضور واکنش متقاطع مابین باکتری‌های گرم مثبت مشکل می‌گردد. بنابراین نتایج مثبت تکنیک هیبریداسیون، فقط زمانی مورد استناد است که کشت میکروبی، هیچ باکتری گرم مثبت دیگری را نشان ندهد.



بنابراین مزیت دیگر PCR حساسیت و اختصاصیت بالاتر آن نسبت به روش های هیبریداسیون (دورگه سازی) و روش آنزیمی mycoalert® و کشت میکروبی و رنگ آمیزی DNA فلئوروکروم می باشد. حساسیت روش هیبریداسیون rRNA با DNA که حدود  $10^2$  تا  $10^4$  ارگانیسیم است که در مواردی مانع از تشخیص مایکوپلازما در نمونه های آلوده می گردد. در صورتی که در روش مولکولی PCR و Real time PCR دارای حساسیتی در حدود  $10^1$  تا  $10^4$  میکروارگانیسیم می باشد که نشان از حساسیت بسیار بالای PCR و Real time PCR می باشد.

از جمله بررسی کشت های سلولی توسط (Del Giudice (۱۹۸۰) و (Mc Garriry (۱۹۸۵) با روش کشت میکروبی و PCR نشان دادند که از  $30$  رده ی سلولی آزمایش شده،  $14$  نمونه با روش PCR مثبت و تنها  $10$  نمونه با روش کشت میکروبی، مثبت شده بود. دلیل این تفاوت نیز عدم رشد بعضی از سویه های مایکوپلازما هیورینیس در کشت میکروبی پیشنهاد شده است. در سلول آلوده به مایکوپلازما حداقل می بایستی بیشتر از  $1000$  باکتری مایکوپلازما وجود داشته باشد تا روی محیط های مخصوص مایکوپلازما رشد کنند ولی در روش PCR یا PCR ELISA کمتر از  $10$  باکتری مایکوپلازما نیز می تواند شناسایی شود (۶۳،۴۹،۳۰،۷). بنابراین موارد فوق مبین برتری های تکنیک PCR نسبت به روش های کلاسیک خصوصاً در مواردی است که تعداد عامل در نمونه کم باشد (درست قبل از تهاجم عفونت، بعد از روش های زدودن مایکوپلازما، یا در حضور سرم با تعداد کم عامل). علی رغم مراقبت های زیاد و فضا سازی مناسب جهت تکنیک های تکثیری همچون PCR، باز امکان آلودگی با DNA در سیستم های تشخیص مولکولی وجود دارد. که در نتیجه باعث به وجود آمدن مثبت های کاذب خواهد شد. البته تجربه نشان داده است که با اختصاص فضاها و تجهیزات مناسب در مناطق پیش بینی شده، این امکان به صفر نزدیک می گردد. لذا انتخاب کنترل های مناسب (نظیر کنترل مثبت، کنترل منفی و اینترنال کنترل) در مراحل مختلف استخراج DNA کمک شایانی به کاهش آلودگی و تشخیص مایکوپلازما در کشت های سلولی دارد. نتایج منفی کاذب PCR عمدتاً به چند دلیل می تواند باشد: ۱- تعداد کم مایکوپلازماها در نمونه ۲- به هم انباشتگی و متراکم شدن و عدم توزیع

مناسب مایکوپلازماها (بدین معنی که به بخشی از سلول های کشت، مایکوپلازماها چسبیده و بنابراین وقتی که برای اولین بار نمونه تقسیم می شود، حضور مایکوپلازماها در برخی نمونه ها بیشتر است)، ۳- واکنش های زنجیره ای پلیمرز باید از DNA استخراج شده و خالص سلولی که عاری از محصولات زائد تجزیه سلولی سوپرناتانت کشت سلولی برای انجام واکنش مورد استفاده قرار بگیرد، زیرا اجزاء محیط کشت سلولی ممکن است حاوی مواد مهار کننده ای باشد که مانع از انجام فعالیت آنزیم تک DNA پلیمرز شود. بنابراین تکنیک PCR باید حتماً به طور مناسب و شایسته برگزیده شود و سایر روش های دیگر نیز با حداکثر دقت به مرحله ی اجرا گذاشته شود. روش PCR می تواند با یک مرحله تکثیر با  $1$  جفت پرایمر و یا دو مرحله تکثیر (nested PCR) با  $2$  جفت پرایمر صورت پذیرد. دومین مرحله PCR در Nested PCR، حساسیت و اختصاصیت تکنیک مورد نظر را افزایش می دهد. اما یکی از اشکالات و عیوب روش Nested PCR نتایج احتمالی مثبت کاذب تولید شده است که به آلودگی با DNA هدف ارتباط دارد. بنابراین برای انجام آزمون های روتین کشت سلولی، آزمون PCR برای تشخیص آلودگی مایکوپلازمایی در کشت های سلولی خیلی مطلوب و رضایت بخش است، اما تیتراژ مایکوپلازما در کشت های سلولی باید برای تشخیص آلودگی توسط آزمون PCR، کافی و مناسب باشد. اما شرایط ویژه، مثلاً پس از روش های درمان و آنتی بیوتیک تراپی مایکوپلازما در کشت های سلولی آلوده یا برای تشخیص مایکوپلازما در فرآورده های کشت سلولی مثل FBS (سرم جنین گاوی) و غیره، روش Nested PCR می تواند مفیدتر و مؤثرتر می باشد. یکی از روش های احتمالی برای افزایش حساسیت این تکنیک، انجام آزمون RT-PCR (واکنش نسخه برداری معکوس PCR) که RNA ریبوزومی را که به میزان زیادی در سلول در مقایسه با DNA کد شده rRNA ریبوزومی وجود دارد، مورد تشخیص و شناسایی قرار می دهد. به هر حال کاربرد و حساسیت RT-PCR برای تشخیص آلودگی مایکوپلازما به مراتب بیشتر و مؤثرتر می باشد. به طور خلاصه، در هر حال پیشنهاد ما این است که برای تشخیص آلودگی های روتین مایکوپلازما در کشت های سلولی از PCR تک مرحله ای بر اساس شناسایی DNA ژنومیک برای آزمون های آلودگی

کشت‌های سلولی استفاده شود. ضمناً آزمایشگاه هایی که به دستگاه PCR دسترسی ندارند، ضروری است که از تکنیک های دیگری نظیر روش هایی کشت میکروبی و رنگ آمیزی DNA فلئوروکروم و سایر روش ها استفاده نمایند، برخی از این متدها به صورت کیت‌های تجاری نیز در دسترس می‌باشند (۵۹). دو تکنیک دیگری نیز که جدیداً بر اساس فلئورسانس هیبراسیون درجا آزمون (FISH) و تولید ATP (آدنوزین تری فسفات) که به ترتیب توسط میکروسکوپ فلئورسانس و لومینومتر برای تشخیص آلودگی های میکوپلاسمایی در کشت‌های سلولی مورد استفاده قرار می‌گیرند. اما نتایج اولیه تحقیقاتی در مورد پارامترهای ذکر شده در بالا، به ویژه با توجه به سرعت عمل این روش‌ها بسیار نوید بخش و امیدوار کننده است. نتایج تست FISH در حدود ۲ تا ۳ ساعت انجام می‌شود و نتایج تست لومینسانس می‌تواند در عرض کمتر از ۲۰ دقیقه تعیین گردد. همه تکنیک های شرح داده شده در بالا، در زمانی که کشت‌های سلولی تحت درمان با آنتی بیوتیک‌ها قرار می‌گیرند، منفی می‌گردند. در حالت کلی همه کشت‌های سلولی درمان شده می‌بایستی حداقل برای ۲ هفته در محیط بدون آنتی‌بیوتیک قرار بگیرند، قبل از اینکه سلول‌ها دوباره تست شوند (۵۳). پیشنهاد میکوپلاسمولوژیست‌ها این است که برای تشخیص آلودگی میکوپلاسمای در کشت‌های سلولی حداقل ۲ تا ۳ روش جدید به صورت پارالل و مستقل و توأمان با هم برای شناسایی کامل آلودگی میکوپلاسمای مورد ارزیابی قرار گیرند و سلول‌ها باید تا زمانی که همه تست‌های تشخیصی عاری بودن و یا آلوده بودن رده‌ی سلولی مزبور را از میکوپلاسمای نشان نداده، در آزمایشگاه قرنطینه کشت سلولی نگهداری شوند. در طول کشت‌های سلولی مستمر و مداوم، یک روش حساس و دقیق می‌بایستی به طور منظم و فعال برای کنترل کیفی و مدیریت بر کشت‌های سلولی مورد نظر، مورد استفاده قرار بگیرد.

## نتیجه گیری

پس بطور خلاصه نتایج بدست آمده در این تحقیق توسط روش های مولکولی PCR در مقایسه با روش های آنزیمی Mycoalert® و کشت میکروبی میزان حساسیت، اختصاصیت،

میزان دقت (صحت) و ارزش پیش بینی نتایج مثبت و منفی ۱۰۰٪ را برای تکنیک مولکولی PCR و در ادامه به ترتیب ۹۱٫۳۰٪، ۱۰۰٪، ۹۵٫۲۳٪، ۱۰۰٪ و ۹۰٫۴۷٪ را برای آزمون آنزیمی Mycoalert® و ۶۹٫۵۶٪، ۱۰۰٪، ۸۵٫۱۰٪، ۱۰۰٪ و ۷۷٫۴۱٪ را برای آزمون کشت میکروبی به ما نشان می دهند. بنابراین سنجش PCR بر مبنای سکانس‌های ثابت و مشترک موجود در 16 StrRNA ریبوزومی به عنوان یک تکنیک مفید، ارزشمند و قابل اعتماد با حساسیت، ویژگی و دقت بسیار بالا جهت تشخیص و شناسایی آلودگی‌های میکوپلاسمایی در کشت‌های سلولی و سایر فرآورده‌های بیولوژیک (نسبت به سایر روش‌ها) مطرح می‌باشد. از آنجایی که روش معمول برای تشخیص آلودگی رده‌های سلولی به میکوپلاسمای، روش های کشت میکروبی و رنگ آمیزی DNA فلئوروکروم هستند و این روش‌ها اولاً زمان‌بر بوده و همچنین از حساسیت پایینی نیز برخوردار هستند (موارد منفی و مثبت کاذب متعدد و فراوان) و سرعت عمل در تشخیص آلودگی رده‌های سلولی، به منظور درمان رده‌ی سلولی آلوده و جلوگیری از آلوده شدن رده‌های سلولی سالم بسیار حائز اهمیت می‌باشد، بنابراین برای تشخیص آلودگی میکوپلاسمای در کشت های سلولی روش آنزیمی Mycoalert® (فقط ۲ مورد منفی کاذب) با توجه به حساسیت و ویژگی و سرعت عمل بسیار بالای آن در تشخیص آلودگی میکوپلاسمای (زمان تشخیصی در کمتر از ۲۰ دقیقه) بعد از روش های مولکولی Real time PCR و PCR می‌تواند جایگزین روش‌های کشت میکروبی و رنگ‌آمیزی DNA فلئوروکروم شود و به صورت همزمان همراه با تکنیک های مولکولی برای تشخیص آلودگی میکوپلاسمایی به عنوان یک روش انتخابی مطرح و مورد استفاده قرار گیرد. در هر صورت، مقایسه مابین تکنیک های مولکولی PCR با کشت میکروبی، روش‌های رنگ آمیزی DNA با رنگ‌های فلئوروکروم و تکنیک هیبریداسیون (دو رگه سازی) اسید های نوکلئیک و روش‌های آنزیمی کیت Mycoalert® شرکت Lonza موید این موضوع است که آزمون مولکولی PCR تکنیک و روشی حساس، سریع و موثر و مطمئن با کارایی بسیار بالا (۱۰۰٪) می‌باشد (۲۵). البته به منظور افزایش بازدهی (کارایی) PCR در جهت بالا بردن حساسیت و ویژگی و صحت عمل آن نیاز به تحقیقات

بیشتری در زمینه استخراج DNA، روش‌های تغلیظ نمونه، سکانس‌های هدف ژنی PCR، نوع و طراحی مناسب پرایمر، پروب و اینترنال کنترل، روش‌های شناسایی محصول تکثیر، گونه مایکوپلاسمایی آزمایش شده و بهینه‌سازی شرایط اپتیمال PCR و عدم توقف واکنش‌های PCR با DNA نمونه کاملاً محسوس و ضروری می‌باشد.

## تشکر و قدردانی

بدینوسیله اینجانب بر خود لازم و ضروری می‌دانم که از اعضاء و پرسنل محترم بخش بانک سلولی ایران به ویژه ریاست محترم بخش بانک سلولی جناب آقای دکتر محمد علی شکرگزار و همکاران گرامی آقایان دکتر امیر امان زاده، دکتر شهرام آذری، دکتر شاهین بنکدار و آقای حسن صنعتی و خانم‌ها سرکار خانم ناهید احمدی، تهمینه موسوی و لیلا قاضی زاده و کلیه همکاران و عزیزانی که نهایت مساعدت و همکاری را در به انجام رساندن این پروژه تحقیقاتی داشته‌اند، کمال تشکر و امتنان را داشته و از درگاه ایزد منان برای همگی سلامتی، شادی و آرزوی موفقیت خواستارم.

- (1) Barile MF, Hopps HE, Grabowski MW. Incidence and Sources of Mycoplasma Contamination: A Brief Review. In: Mycoplasma Infection of Cell Cultures. McGarrity GJ, Murphy DG, Nicholas WW, Editors. New York: Plenum Press, 1978; 35-45.
- (2) Barile MF, Mycoplasma-Tissue Cell Interactions. The Mycoplasmas. New York, NY, Academic Press, 1979; 425-474.
- (3) Barile MF, Rottem S. Mycoplasmas in Cell Cultures. In: Kahana I, Adoni A (Eds.), Rapid Diagnosis of Mycoplasmas. New York, Plenum Press, 1993; 155-193.
- (4) Bolske G. Survey of Mycoplasma Infections in Cell Cultures and a Comparison of Detection Methods. Zentralbl Bakteriologie Mikrobiologie Hygiene A, 1988; 269(3):331-340.
- (5) Bonissol C, Traincard F, Stoiljkovic B, Hosli P. Adenosine Phosphorylase Activity as a Technique for Detection of Mycoplasmas in Biological Media. Ann Inst Pasteur Microbiol, 1984; 135(A):63-72.
- (6) Cheng HS, Shen CW, Wang SR. Effects of Storage Condition on Detection of Mycoplasma in Biopharmaceutical Products. In Vitro Cell Dev Biol Anim, 2007; 43:113-9.
- (7) Del Giudice RA, Gardella RS & Hopps HA. Cultivation of Formerly Non-Cultivable Strains of Mycoplasma hyorhinis. Curr Microbiol, 1980; 4:75-80.
- (8) Drexler HG, Uphoff CC. Contamination of Cell Culture, Mycoplasma. In: Spier y. New York, Wiley, 2000; 609-627.
- (9) Drexler HG, Dirks WG, MacLeod RAF, Quentmeier H, Steube KG, Uphoff CC. DSMZ Catalogue of Human and Animal Cell Lines, 8<sup>th</sup> edn. DSMZ, Brunswick, 2001.
- (10) Drexler HG, Uphoff CC, Dirks WG, MacLeod RAF. Mix-Ups and Mycoplasma: The Enemies with in. Leukemia Res 2002a; 26:329-333.
- (11) Drexler HG, Uphoff CC. Mycoplasma Contamination of Cell Cultures: Incidence, Sources, Effects, Detection, Elimination, Prevention. Cytotechnology, 2002b; 39:75-90.
- (12) EP.6.1 (2008) European Pharmacopoeia 6.1. 2008.
- (13) FDA (1993) Food and Drug Administration. Center for Biologics Evaluation and Research. Points to Consider in "Characterization of Cell Lines Used to Produce Biological" Rockville, MD: US Department of Health and Human Service, 1993.
- (14) FDA (2010) Food and Drug Administration. Center for Biologics Evaluation and Research. Guidance for Industry: "Characterization and Qualification of Cell Substrates and Other Biological Materials Used in the Production of Viral Vaccines for Infection Disease Indication." Rockville, MD: US Department of Health and Human Service, 2010.
- (15) Harasawa R, Mizusawa H, Nozawa K, Nakagawa T, Asada K, Kato I. Detection and Tentative Identification of Dominant Mycoplasma Species in Cell Cultures by Restriction Analysis of the 16S-23S rRNA Intergenic Spacer Regions. Res Microbiol, 1993; 144:489-493.
- (16) Harasawa R, Mizusawa H, Fujii M, Yamamoto J, Mukai H, Uemori T, et al. Rapid Detection and Differentiation of the Major Mycoplasma Contaminants in Cell Cultures Using Real-Time PCR with SYBR Green I and Melting Curve

Analysis. *Microbiol Immunol*, 2005;49:859-63.

(17) Harlin H, Gajewski. Diagnosis and Treatment of Mycoplasma-Contaminated Cell Cultures. *Curr Protoc Cytom*, 2008; Appendix 3: Appendix 3C.

(18) Hart MK, Del Giudice RA, Korch GW. Absence of Mycoplasma Contamination in the Anthrax Vaccine. *Emerg Infect Dis*, 2002; 1:94-96.

(19) Hay RJ, Macy ML, Chen TR. Mycoplasma Infection of Cultured Cells. *Nature*, 1989; 339:487-488.

(20) Hopert A, Uphoff CC, Wirth M, Hauser H, Drexler HG. Specificity and Sensitivity of Polymerase Chain Reaction (PCR) in Comparison with Other Methods for the Detection of Mycoplasma Contamination in Cell Lines. *J Immunol Methods*, 1993;164:91-100.

(21) Ishikawa Y, Kozakai T, Morita H, Saida K, Oka S, Masuo Y. Rapid Detection of Mycoplasma Contamination in Cell Cultures Using SYBR Green-based Real-Time Polymerase Chain Reaction. *In Vitro Cell Dev Biol Anim*, 2006; 42:63-69.

(22) Jurmanova K, Hajkova M, Fischer O. Detection of Mycoplasmas in Cell Cultures. *Zentralbl Bakteriol Parasitenkd Infektionskr*, 1990; 20:947-948.

(23) Kong H, Volokhov DV, George J, Ikononi P, Chandler D, Anderson C, Etal. Application of Cell Culture Enrichment for Improving the Sensitivity of Mycoplasma Detection Methods Based on Nucleic Acid Amplification Technology (NAT). *Appl Microbiol Biotechnol*, 2007;77:223-232.

(24) Lawrence B, Bashiri H, Dehghani H. Cross Comparison of Rapid Mycoplasma Detection Platforms. *Biologicals*, 2010; 38:218-23.

(25) Lehmann D, Jouette S, Olivieri F, Laborde S, Rofel C, Simon E, Etal. Novel Sample Preparation Method for Molecular Detection of Mollicutes in Cell Culture Samples. *J Microbiol Methods* 2009; 80:183-189.

(26) Mariotti E, Mirabelli P, Di Noto R, Fortunato G, Salvatore F. Rapid Detection of Mycoplasma in Continuous Cell Lines Using a Selective Biochemical Test. *Leuk Res*, 2008; 32:323-326.

(27) Markoullis K, Bulian D, Holzwimmer G, Quintanilla-Martinez L, Heiliger KJ, Zitzelsberger H, Scherb H, Etal. Mycoplasma Contamination of Murine Embryonic Stem Cells Affects Cell Parameters, Germline Transmission and Chimeric Progeny. *Transgenic Res*, 2009; 18(1):71-87.

(28) Mc Garrity GJ, Vanaman V, Sarama J. Cytogenetic Effects of Mycoplasmal Infection of Cell Cultures: a Review. *In Vitro*, 1984; 20:1-18.

(29) Mc Garrity GJ, Kotani H. Cell Culture Mycoplasmas. In: *The Mycoplasmas IV*. Rasin S and Barile MF, Editors. New York: Academic Press Inc, 1985a; 353-390.

(30) Mc Garrity GJ, Sarama J, Vanaman V. Cell Culture Techniques. *Am Soc Microbiol*, 1985b; 51: 170-183.

(31) Mc Garrity GJ, Kotani H, Butter GH. Mycoplasmas and Tissue Culture Cells. In: Maniloff J (Editor), *Mycoplasmas, Molecular Biology and Pathogenesis: American Society for Microbiology*, 1992; 445-454.

(32) Miller J, Kassem S, Pepper SD, Hey Y, Ward TH, Margison GP. Mycoplasma Infection Significantly Alters Microarray Gene Expression Profiles. *Biotechnology E, Etal., Editors. Encyclopedia of Cell Technol*, 2003; 35(4):812-814.

(33) Molla Kazemiha V, Shokrgozar MA, Arabestani MR, Shojaei Moghadam M, Azari SH, Maleki S, Amanzadeh A,

- Jeddi Tehrani M, Shokri F. PCR-Based Detection and Eradication of Mycoplasmal Infections from Various Mammalian Cell Lines: a Local Experience. *Cytotechnology*, 2009; 61:117-124.
- (34)Molla Kazemiha V, Azari SH, Amanzadeh A, Bonakdar S, Shojaei Moghadam M, Habibi Anbouhi M, Maleki S, Ahmadi N, Mousavi T, Shokrgozar MA .Efficiency of Plasmocin<sup>tm</sup> on Various Mammalian Cell Lines Infected by Mollicutes in Comparison with Commonly Used Antibiotics in Cell Culture: a Local Experience. *Cytotechnology*, 2011; 63(6):609-620.
- (35)Peredeltchouk M, Wilson David SA,Bhattacharya B, Volokhov DV, Chizhikov V.Detection of Mycoplasma Contamination in Cell Substrates Using Reverse Transcription-PCR Assays.*J Appl Microbiol*, 2011;110(1):54-60.
- (36)Polak-Vogelzang AA, Brugman J, Reijgers R.Comparison of Two Methods for Detection of Mollicutes (Mycoplasmatales and Acholeplasmatales) IV Cell Cultures in the Netherlands. *Antonie Van Leeuwenhoek*, 1987; 53 (2):107-118.
- (37)Rawadi G, Dussurget O.Advanced in PCR-Based Detection of Mycoplasmas Contaminating Cell Cultures.*PCR Methods Appl*, 1995; 4:199-208.
- (38)Razin S, Yogev D, Naot Y.Molecular Biology and Pathogenicity of Mycoplasmas. *Microbiol Mol Biol Rev*, 1998; 62: 1094-1156.
- (39)Razin S.DNA Probes and PCR in Diagnosis of Mycoplasma Infection.*Mol Cell Probes*, 1994; 8:497-511.
- (40)Robinson LB, Wichelhausen RH.Contamination of Human Cell Cultures by Pleura Pneumonia Like Organisms (PPLo). *Science*, 1956; 124:1147-1148.
- (41)Rottem S, Barile MF.Beware of Mycoplasmas.*Trends Biotechnol*, 1993; 11:143-51.
- (42)Rottem S.Interaction of Mycoplasmas with Host Cells.*Physiol Rev*, 2003; 83: 417-432.
- (43)Roulland-Dussoix D, Henry A, Lemercier B.Detection of Mycoplasmas in Cell Cultures by PCR: a One Study. *Elsevier Journal*, 1994; 19(2):127-134.
- (44)Smith A, Mowles J.Prevention and Control of Mycoplasma Infection of Cell Cultures.In: Tully JG, Razin S (Editors), *Molecular and Diagnostic Procedures in Mycoplasmaology*.San Diego, Academic Press, 1996; 445-451.
- (45)Sung H, Kang SH, Bae YJ, Hong JT, Chung YB, Lee CK, Song S. PCR-Based Detection of Mycoplasma Species. *J Microbiol*, 2006; 44:42-49.
- (46)Stormer M,Vollmer T,Henrich B, Kleesiek K, Dreier J.Broad-Range Real-Time PCR assay for the Rapid Identification of Cell-Lines Contaminants and Clinically Important Mollicute Species.*Int J Med Microbiol* ,2009;299:291-300.
- (47)Tang J,HU M, Lee S,Robin RA.Polymerase Chain Reaction Based Method for Detecting Mycoplasma/Acholeplasma Contaminants in Cell Culture. *J Microbiol Methods*, 2000; 39: 121-126.
- (48)Timenetsky J, Santos LM, Buzinhani M, Mettifogo E .Detection of Multiple Mycoplasma Infection in Cell Cultures by PCR.*Braz J MED Biol Res*, 2006; 39:907-914.
- (49)Tully JG.Diagnosis of Mycoplasma Infections of Cell Cultures.Introductory Remarks.In: Tully JG, Razin S, Editors. *Molecular and Diagnostic Procedures in Mycoplasmaology*.Diagnostic Procedures. San Diego, Academic Press, 1996; 405-410.

- (50) Uphoff CC, Drexler HG. Detection of Mycoplasma in Leukemia-Lymphoma Cell Lines Using Polymerase Chain Reaction. *Leukemia*, 2002a; 16:289-293.
- (51) Uphoff CC, Drexler HG. Comparative Antibiotics Eradication of Mycoplasma Infections from Continuous Cell Lines. *In Vitro Cell Dev Biol Anim*. 2002b; 38(2):86-89.
- (52) Uphoff CC, Drexler HG. Comparative PCR Analysis for Detection of Mycoplasma Infections in Continuous Cell Lines. *In Vitro Cell Dev Biol Anim*, 2002c; 16:89-93.
- (53) Uphoff CC, Merkhoffer Y, Drexler HG. A New Method for the Rapid Detection of Mycoplasma Contaminations in Leukemia Cell Lines. *Hematol J*, 2003; 4(2):16-18.
- (54) Uphoff CC, Drexler HG. Detecting Mycoplasma Contamination in Cell Cultures by Polymerase Chain Reaction. *Methods Mol Med*, 2004; 88:319-26.
- (55) Uphoff CC, Drexler HG. Detection of mycoplasma contaminations. In: Helgason CD, Miller CL, Editors. *Basic Cell Culture Protocols: Methods in Molecular Biology*, 2005; 290(3)13-23.
- (56) Uphoff CC, Drexler HG. Detection Mycoplasma Contamination Cell Cultures by Polymerase Chain Reaction. *Methods Mol Biol*, 2011; 731:93-103.
- (57) Van Kuppeveld FJ, Van der Logt JT, Angulo AF, Van Zoest MJ, Quint WG, Niesters HG, et al. Genus- and Species-Specific Identification of Mycoplasmas by 16SrRNA Amplification. *Appl Environ Microbiol*, 1992; 58:2606-2615.
- (58) Van Kuppveld FJ, Johansson KE, Galama JM, Kissing J, Bolske G, Van der Logt JT, et al. Detection of Mycoplasma Contamination in Cell Cultures by Mycoplasma Group-Specific PCR. *Appl Environ Microbiol*, 1994; 60:149-52.
- (59) Volokhov DV, Kong H, George J, Anderson C, Chizhikov VE. Biological Enrichment of Mycoplasma Agents by Co Cultivation with Permissive Cell Cultures. *Appl Environ Microbiol* 2008; 74:5383-5391.
- (60) Waites KB, Talkington DF. Mycoplasma Pneumoniae and its Role as a Human Pathogen. *Clin Microbiol Rev*, 2004; 17:697-728.
- (61) Waites KB, Brenda K, Schelonka RL. Mycoplasmas and Ureaplasmas as Neonatal Pathogens. *Clin Microbiol Rev*, 2005; 18: 757-789.
- (62) Yavlovich A, Kohen R, Ginsburg I, Rottem S. The Reducing Antioxidant Capacity of Mycoplasma fermentans. *FEMS Microbiol Lett*, 2006; 259:195-200.
- (63) Young L, Sung J, Stacey G, Masters JR. Detection of Mycoplasma in Cell Cultures. *Nat Protoc*. 2010; 5(5):929-934.
- (64) Zhang S, Tsai S, Lo SC. Alteration of Gene Expression Profiles During Mycoplasma-Induced Malignant Cell Transformation. *BMC Cancer*, 2006; 6:116.
- (65) Zhi Y, Mayhew A, Seng N, Takle GB. Validation of PCR Method for the Detection of Mycoplasmas According to European Pharmacopoeia Section. *Biologicals*, 2010; 38:232-237.